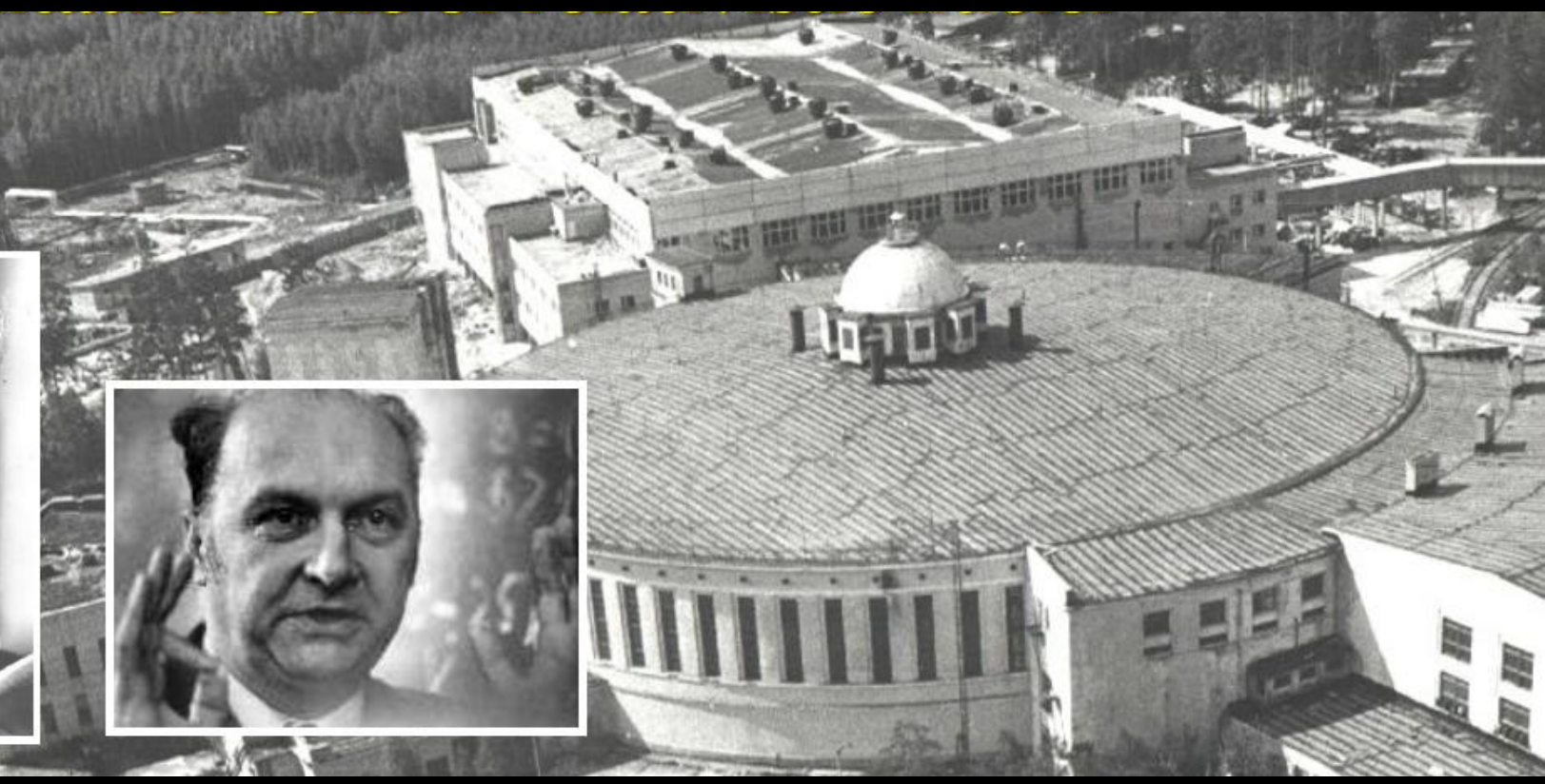




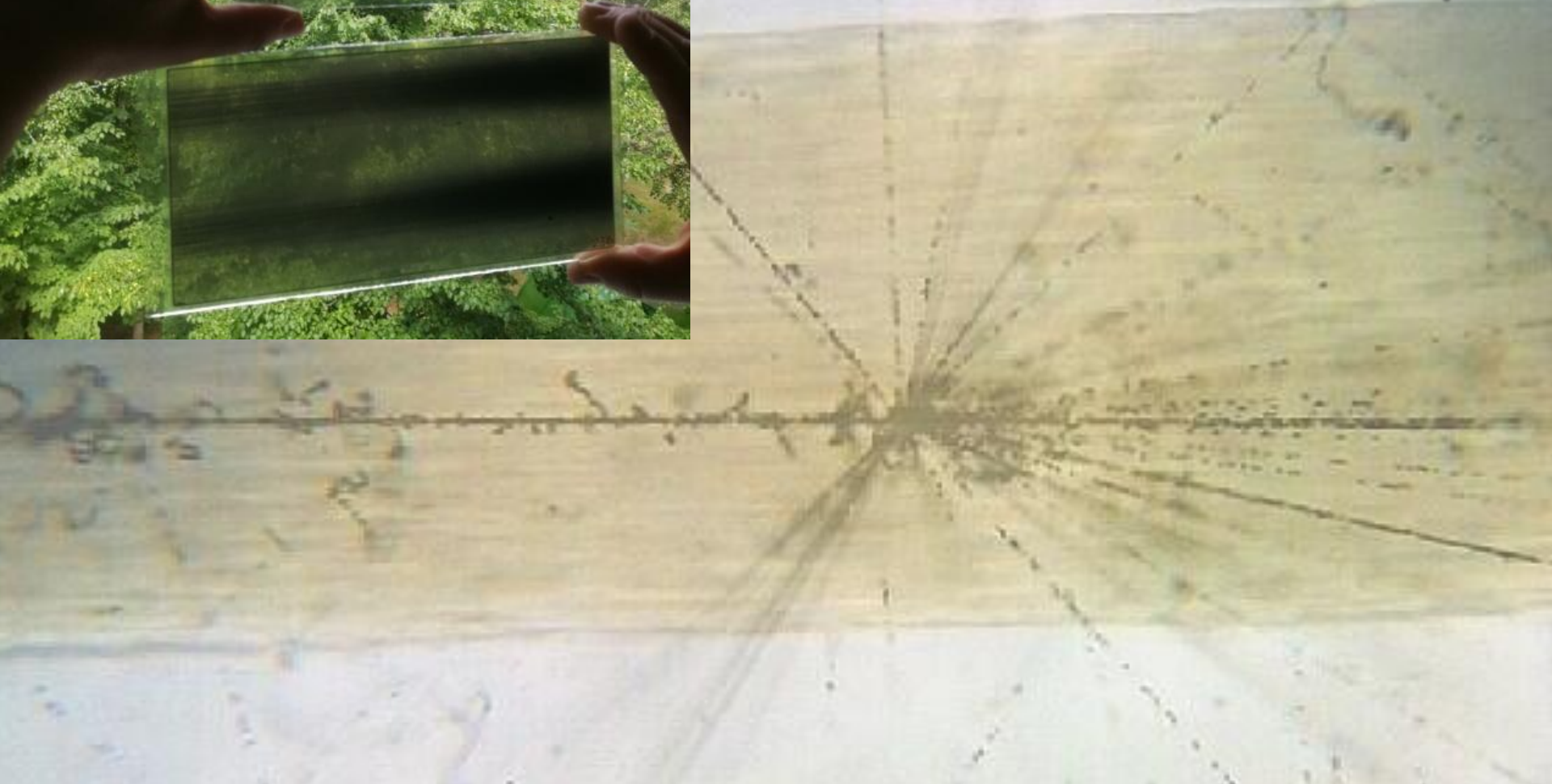
Pavel Zarubin "Unstable nuclei 8Be and 9B and the Hoyle state in relativistic nuclear fragmentation"



V.I. Veksler and A.M. Baldin Laboratory of High Energy Physics
Joint Institute for Nuclear Research, Dubna

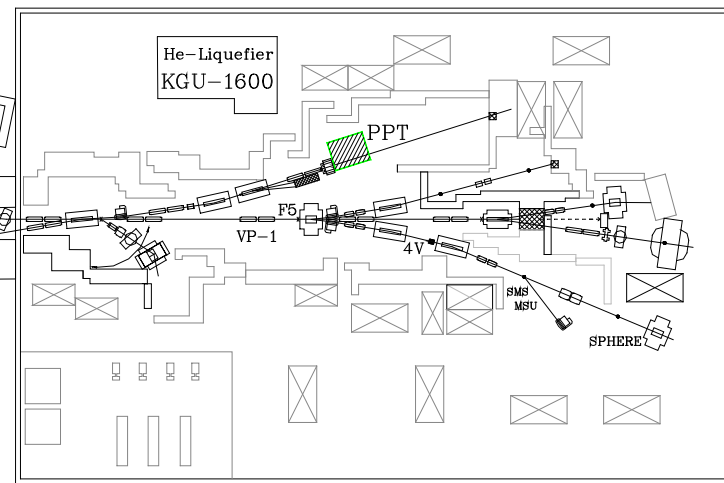
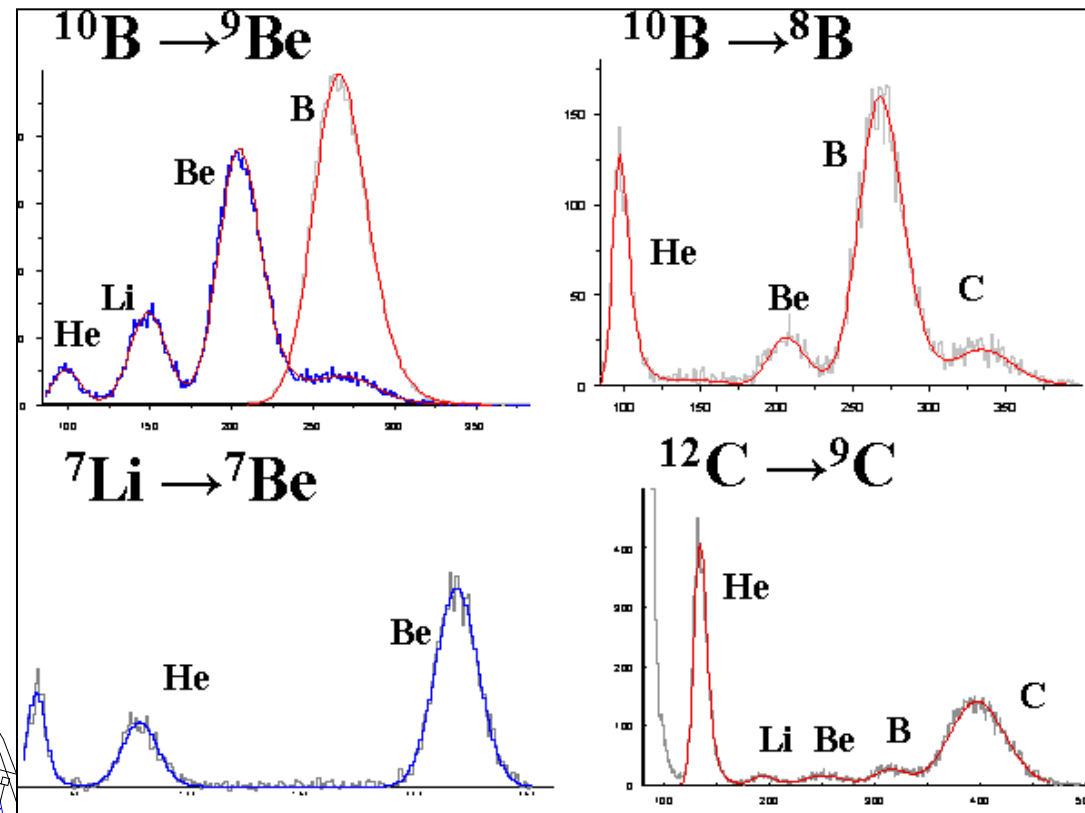
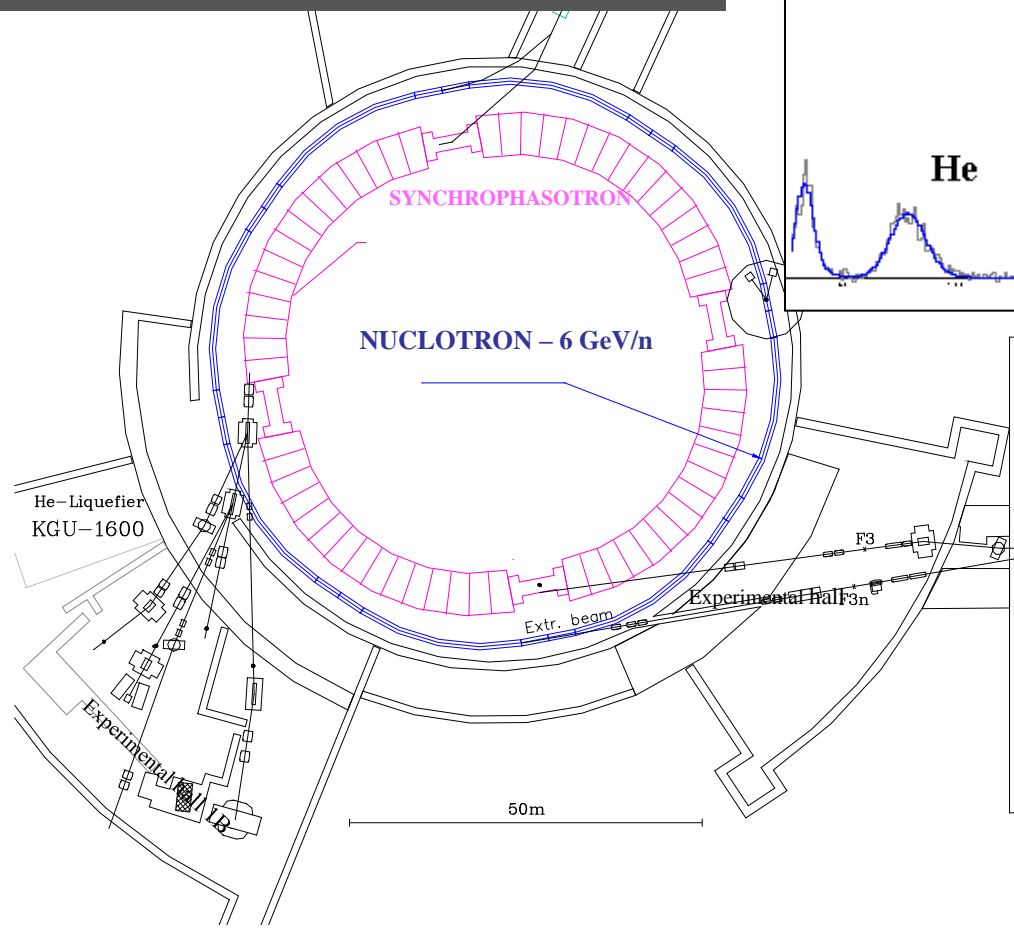


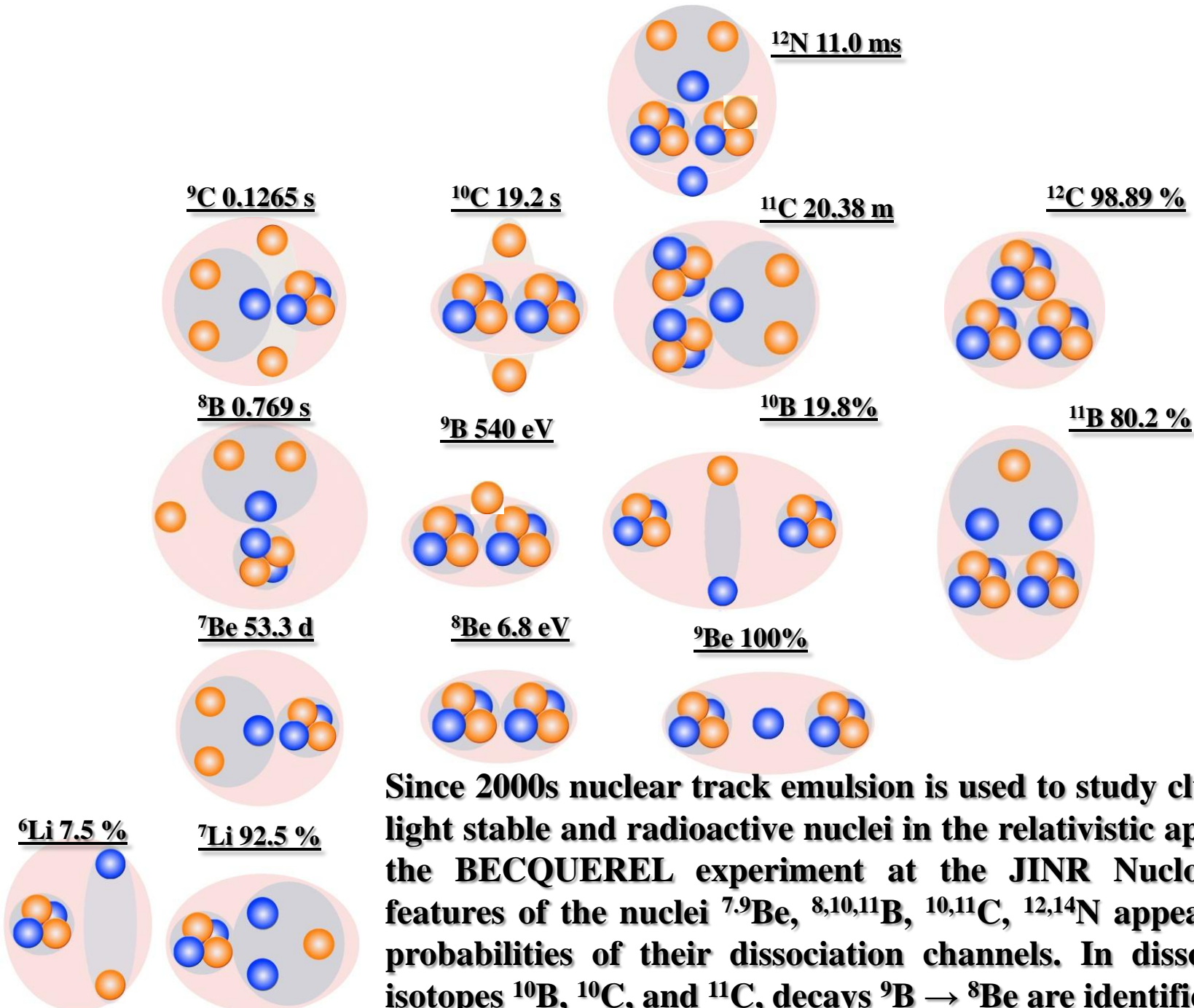
Hair - $60 \mu m$
AgBr Crystal - $0.2 \mu m$
Atom - $10^{-4} \mu m$
Proton - $10^{-9} \mu m$

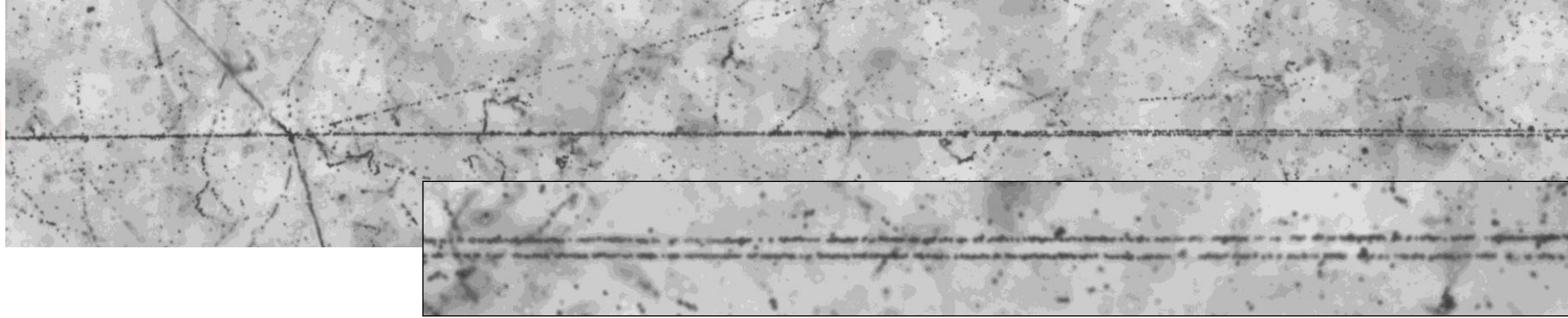
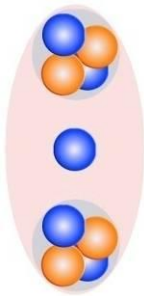


^{12}C (3.65 GeV per nucleon) \rightarrow 3 α (7.28 MeV)

^{16}O (3.65 GeV per nucleon) \rightarrow 2 α ^8Be (2 α , 92 keV, $\Gamma = 5.6$ eV)



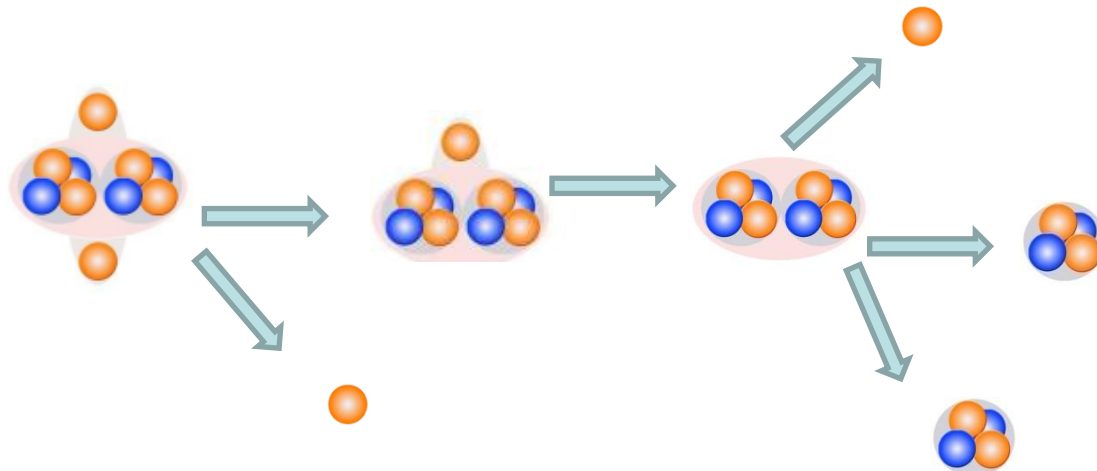




573 ${}^9\text{Be}$ ($1.2 A$ GeV) $\rightarrow 2\alpha$

E_x (MeV \pm keV)	$J^\pi; T$	Γ_{cm} (keV)	Decay
g.s.	$0^+; 0$	5.57 ± 0.25 eV ⁱ	α
3.03 ± 10 ⁱ	$2^+; 0$	1513 ± 15 ⁱ	α
11.35 ± 150 ⁱ	2^+	≈ 3500 ^b	α
16.626 ± 3	$4^+; 0$	108.1 ± 0.5	γ, α
16.922 ± 3	$2^+; 0 + 1$	74.0 ± 0.4	γ, α
17.640 ± 1.0 ^f	$2^+; 0 + 1$	10.7 ± 0.5	γ, p
	$1^+; 1$		

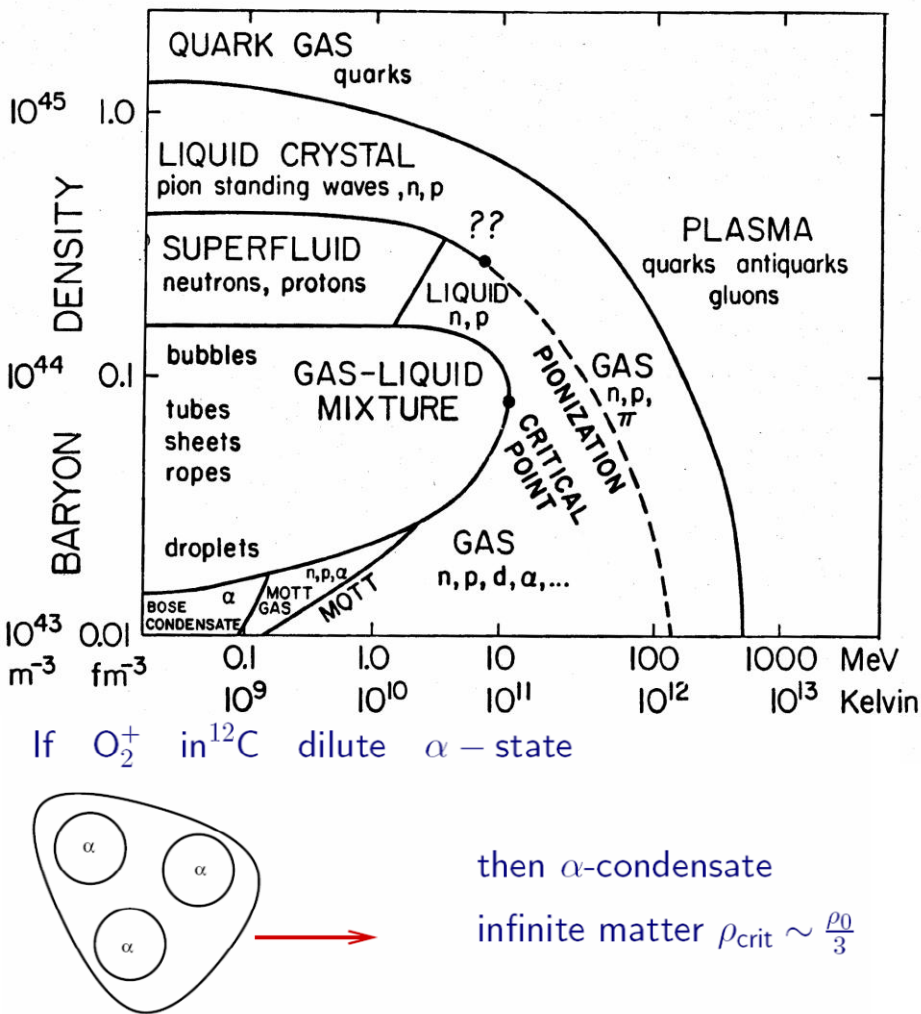
The figure shows a histogram of energy distribution with a logarithmic y-axis (from 1 to 100) and a linear x-axis (from 0 to 20). Arrows point from the decay channels to specific peaks in the histogram. The histogram has several peaks at approximately 10, 11.35, 16.626, 16.922, and 17.640 MeV.



E_x^a (MeV ± keV)	$J^\pi; T$	$\Gamma_{c.m.}$ (keV)
g.s.	$\frac{3}{2}^-; \frac{1}{2}$	0.54 ± 0.21
$\approx 1.6^b$		
2.361 ± 5	$\frac{5}{2}^-; \frac{1}{2}$	81 ± 5
2.75 ± 300^c	$\frac{1}{2}^-; \frac{1}{2}$	3130 ± 200
2.788 ± 30	$\frac{5}{2}^+; \frac{1}{2}$	550 ± 40
4.3 ± 200^d		1600 ± 200
6.97 ± 60	$\frac{7}{2}^-; \frac{1}{2}$	2000 ± 200
11.65 ± 60^e	$(\frac{7}{2})^-; \frac{1}{2}$	800 ± 50
12.19 ± 40^f	$\frac{5}{2}^-; \frac{1}{2}$	450 ± 20
14.01 ± 70	$\pi = -; \frac{1}{2}$	390 ± 110
14.6550 ± 2.5	$\frac{3}{2}^-; \frac{3}{2}$	0.395 ± 0.042
14.7 ± 200^g	$(\frac{5}{2})^-; \frac{1}{2}$	1350 ± 200
15.29 ± 40	$T = \frac{1}{2}$	
15.58 ± 40	$T = \frac{1}{2}$	
16.024 ± 25	$T = (\frac{1}{2})$	180 ± 16
16.71 ± 100^h	$(\frac{5}{2}^+); (\frac{1}{2})$	
17.076 ± 4	$\frac{1}{2}^-; \frac{3}{2}$	22 ± 5
17.190 ± 25		120 ± 40
$17.54 \pm 100^{h,i}$	$(\frac{7}{2}^+); (\frac{1}{2})$	

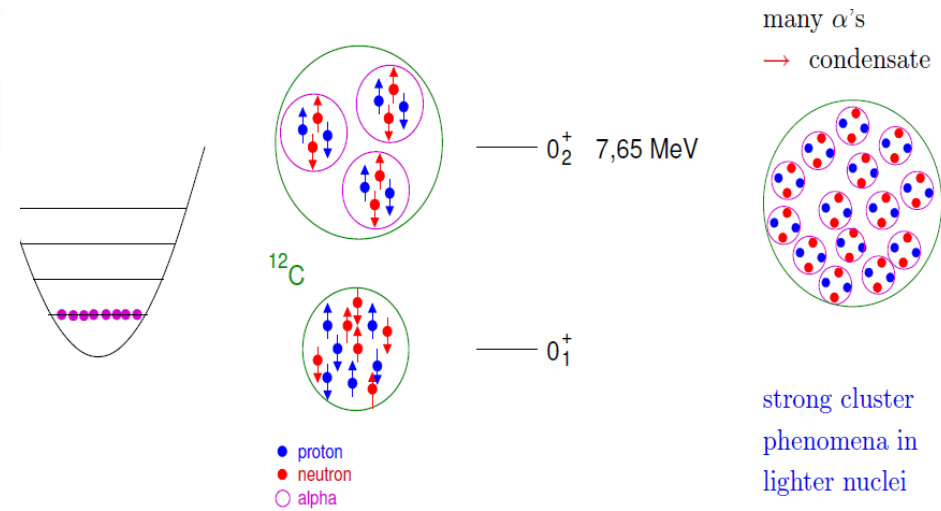
Channel	N_{ws} , %	N_{tf} , %
$2\text{He} + 2\text{H}$	186 (81.9)	361 (57.6)
$\text{He} + 4\text{H}$	12 (5.3)	160 (25.5)
3He	12 (5.3)	15 (2.4)
6H	9 (4.0)	30 (4.8)
$\text{Be} + \text{He}$	6 (2.6)	17 (2.7)
$\text{B} + \text{H}$	1 (0.4)	12 (1.9)
$\text{Li} + 3\text{H}$	1 (0.4)	2 (0.3)
${}^9\text{C} + n$	—	30 (4.8)

Alpha-Clusters in Nuclear Systems



P. Schuck

Y. Funaki, H. Horiuchi, G. Röpke,
A. Tohsaki , W. von Oertzen and T. Yamada



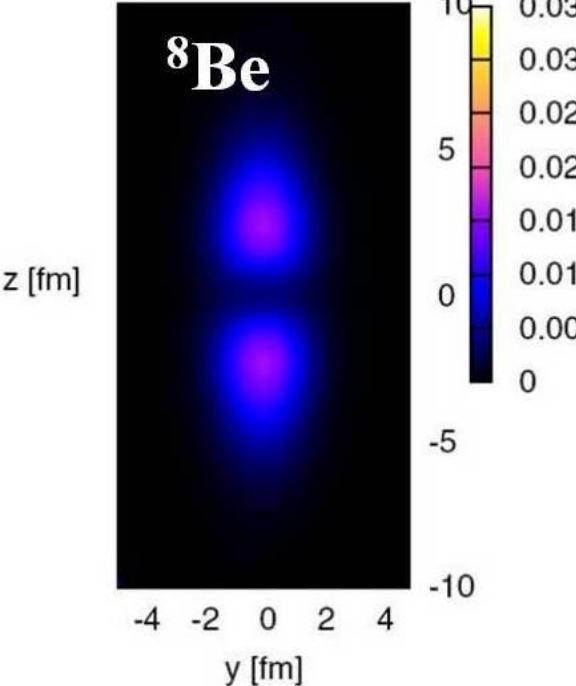
Currently, a research focus is on the theoretical concept of α -particle Bose-Einstein condensate (α BEC) - the ultra cold state of several S-wave α -particles near coupling thresholds. The unstable 8Be nucleus is described as 2α BEC, and the $^{12}C(0^+_2)$ excitation or Hoyle state (HS) as 3α BEC. Decays $^8Be \rightarrow 2\alpha$ and $^{12}C(0^+_2) \rightarrow ^8Be\alpha$ can serve as signatures for more complex α BEC decays. Thus, the 0^+_6 state of the ^{16}O nucleus at 660 keV above the 4α threshold, considered as 4α BEC, can sequentially decay $^{16}O(0^+_6) \rightarrow \alpha^{12}C(0^+_2)$ or $^{16}O(0^+_6) \rightarrow 2^8Be(0^+)$. Its search is being carried out in several experiments on fragmentation of light nuclei at low energies. Confirmation of the existence of this and more complex forms of α BEC could provide a basis for expanding scenarios for the synthesis of medium and heavy nuclei in nuclear astrophysics.

 Light clusters in nuclei and nuclear matter: Nuclear
structure and decay, heavy ion collisions, and astrophysics

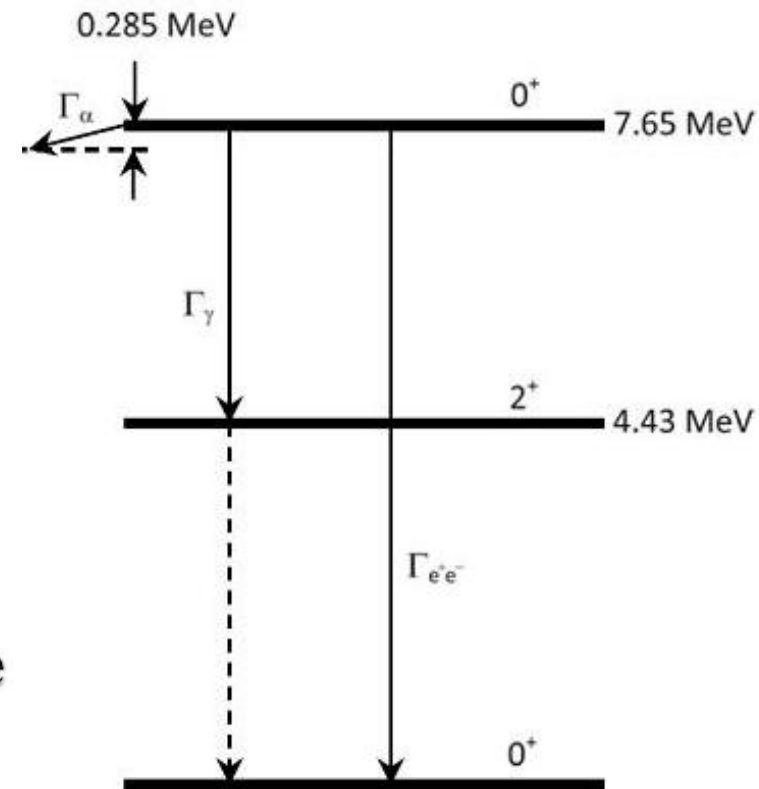
2-6 September 2019
ECT* - Villa Tambosi



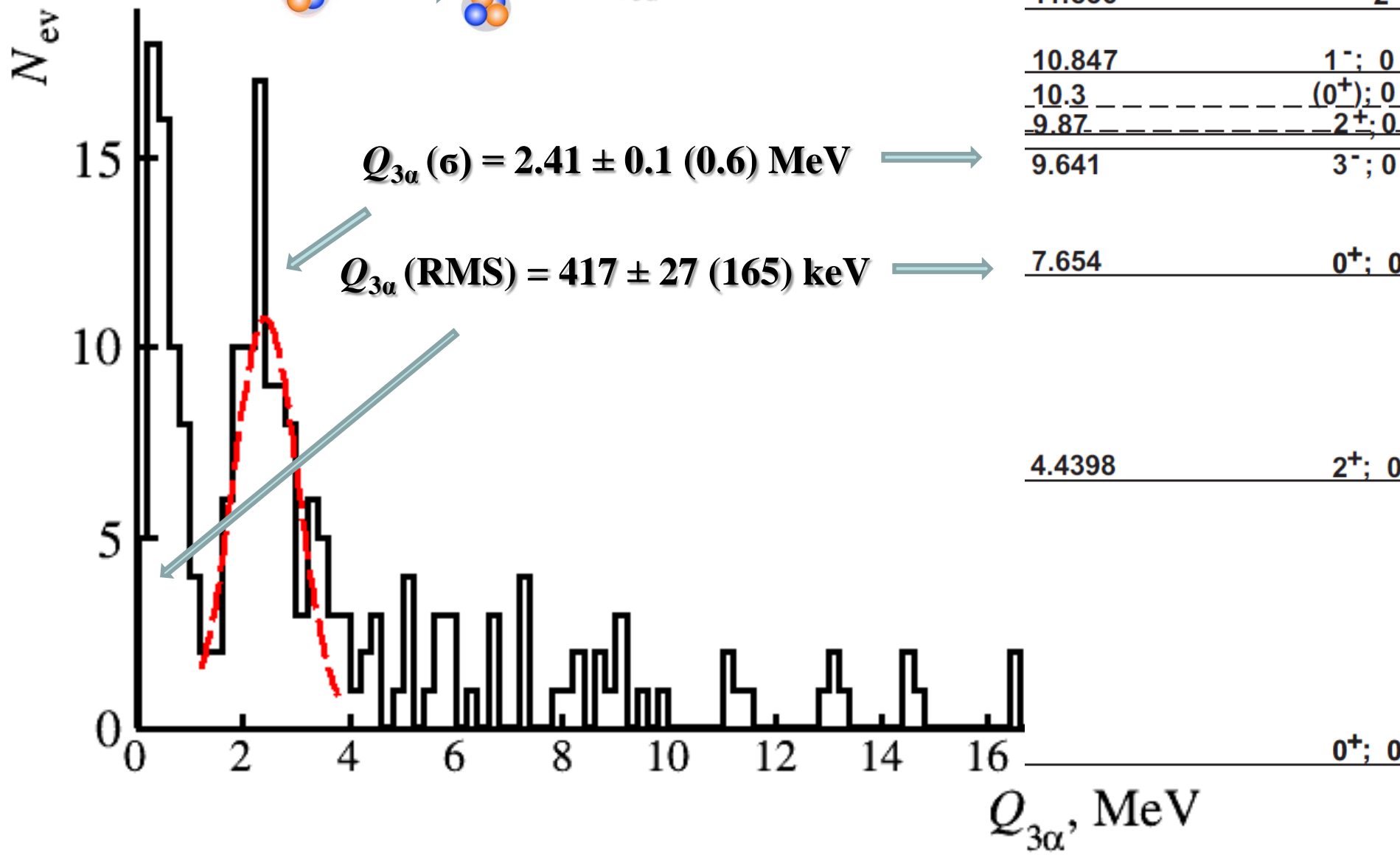
The Hoyle state is the second excited state of ^{12}C at 378 keV above the 3α threshold. The ^8Be nucleus inevitably appears among products of ^9B and Hoyle state decays.

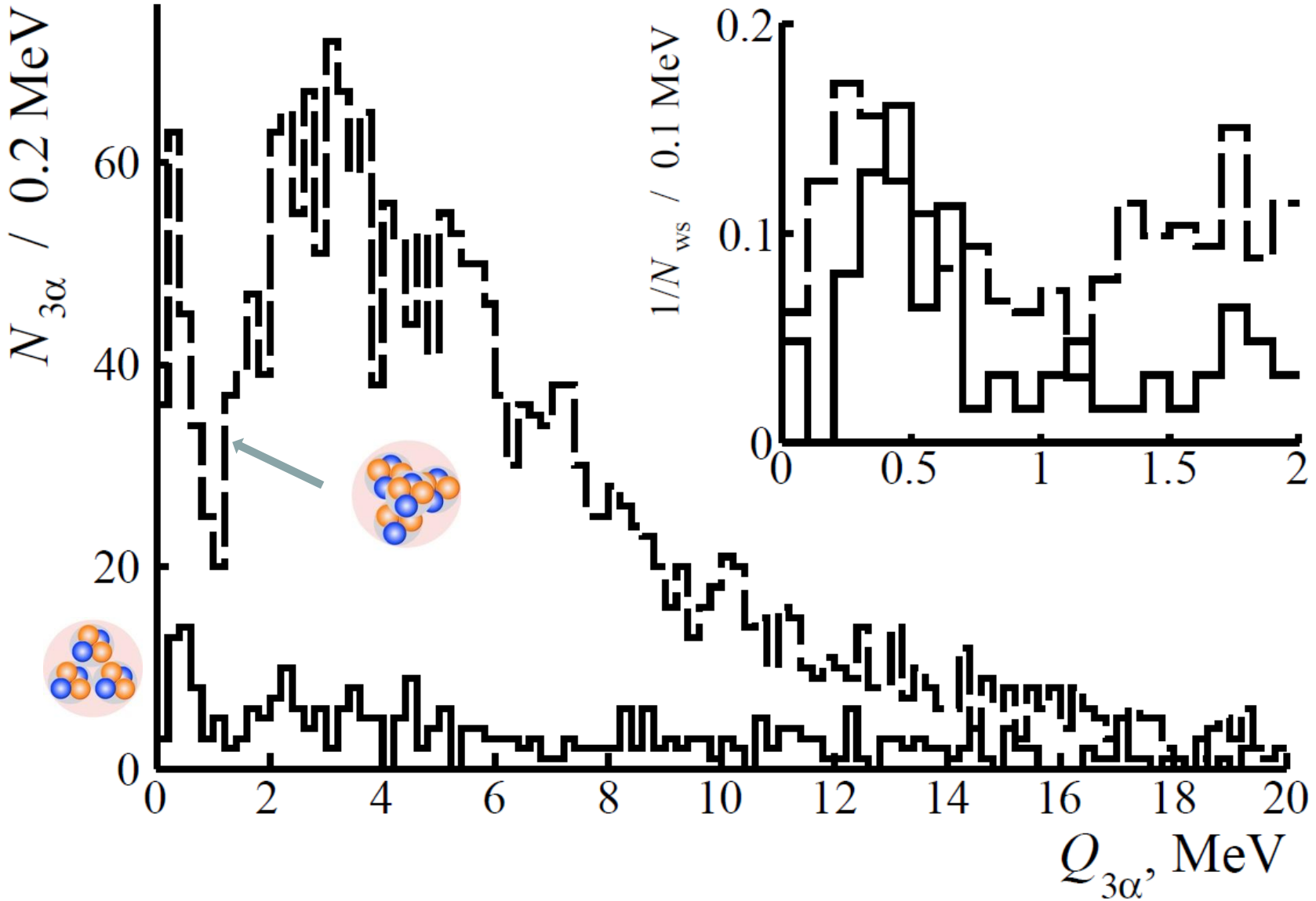


The Hoyle state

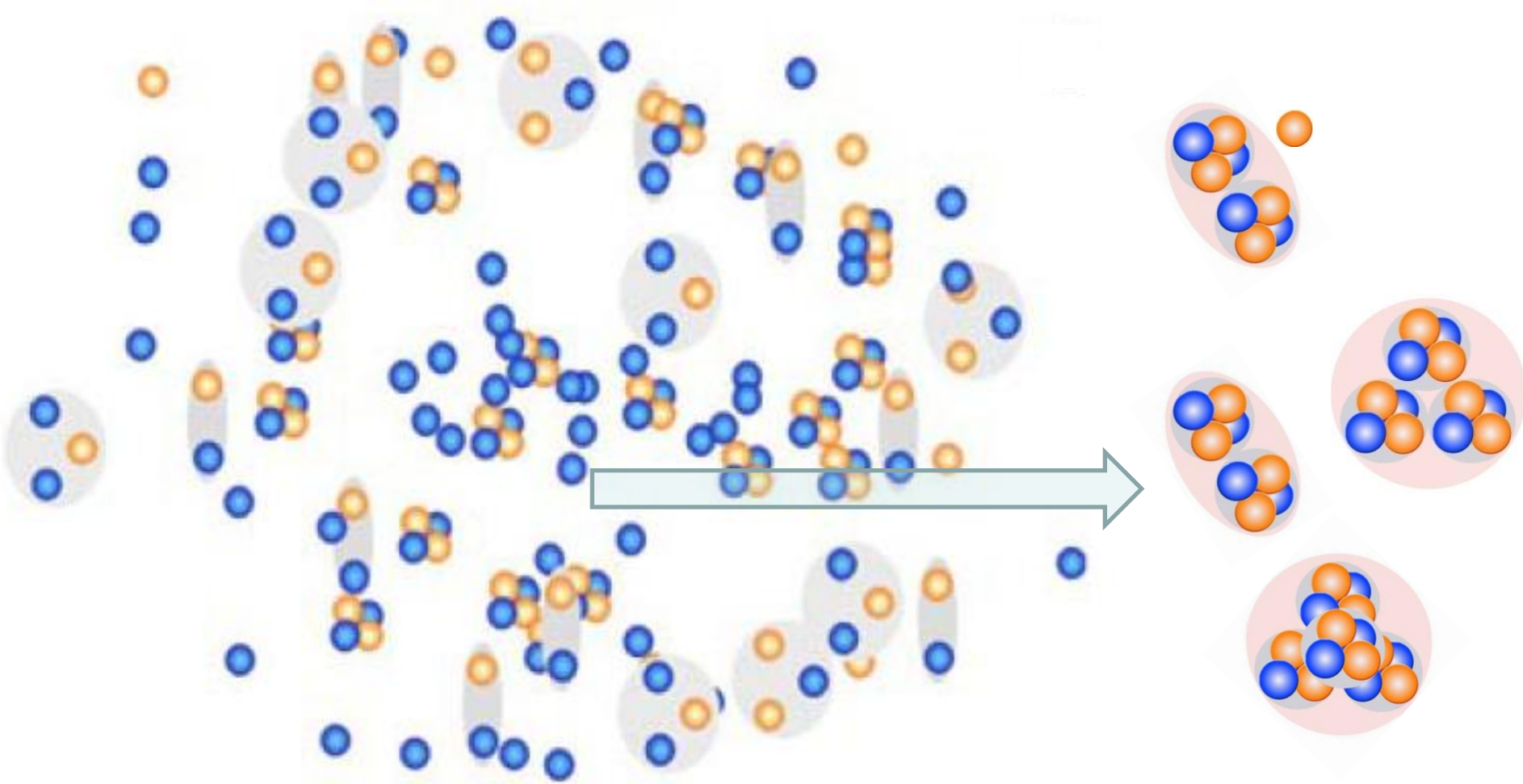


An isolated position of the Hoyle state, at the beginning of the ^{12}C excitation spectrum and its width 9.3 eV render it a 3α analog of ^8Be . The synthesis of ^{12}C in the red-giant medium is possible via the fusion reaction $3\alpha \rightarrow \alpha^8\text{Be} \rightarrow ^{12}\text{C}(0^+_2) \rightarrow ^{12}\text{C}$ ($+2\gamma$ or e^+e^- with a probability of about 10^{-4}). A further synthesis via the fusion reaction $\alpha^{12}\text{C} \rightarrow ^{16}\text{O}$ through a ^{16}O level at an appropriate energy is forbidden in parity. This is the circumstance that determines the relative abundances of ^{12}C and ^{16}O , as well as the survival of ^{12}C under the astrophysical conditions of helium burning. However, the synthesis of ^{16}O is possible through the sequence $^{12}\text{C}^{12}\text{C} \rightarrow ^{12}\text{C}^{12}\text{C}(0^+_2) \rightarrow ^{16}\text{O}^8\text{Be}$.



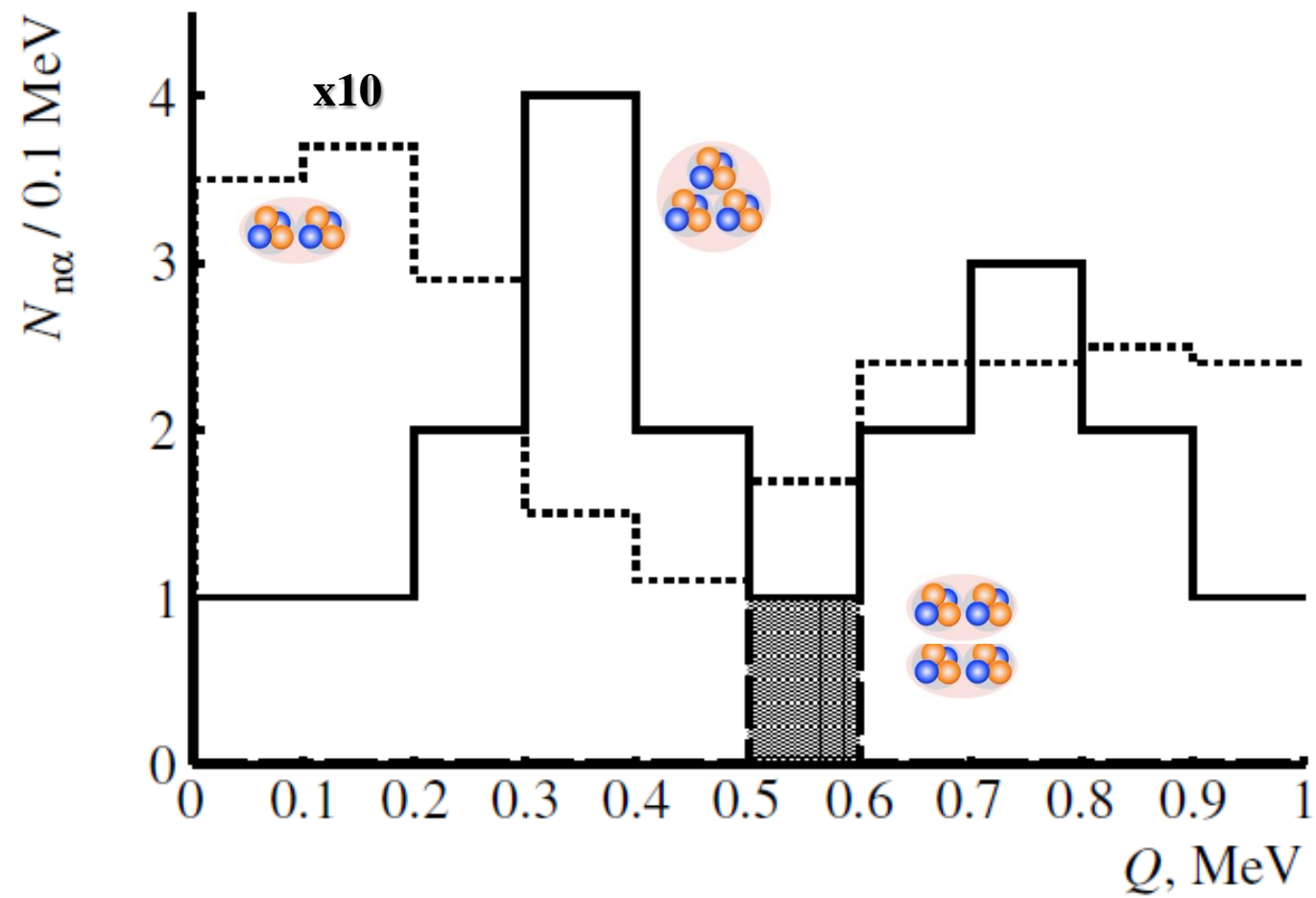


$^{12}\text{C} \rightarrow 3\alpha$ HS $11 \pm 3\%$ $^{16}\text{O} \rightarrow 4\alpha$ HS $22 \pm 2\%$

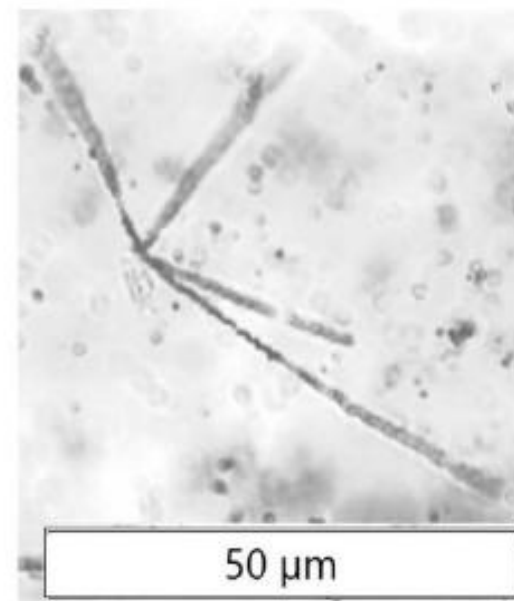
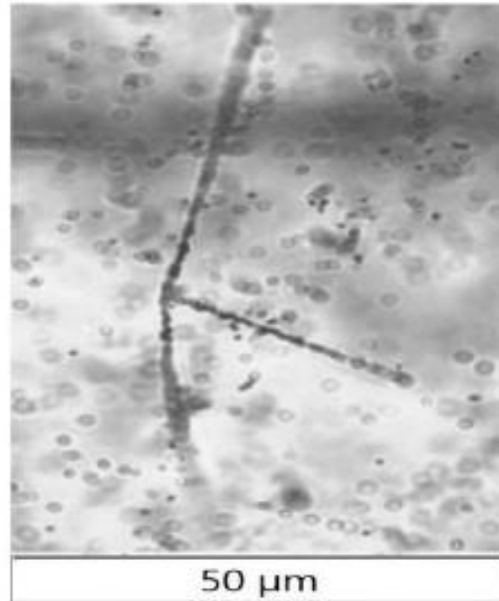
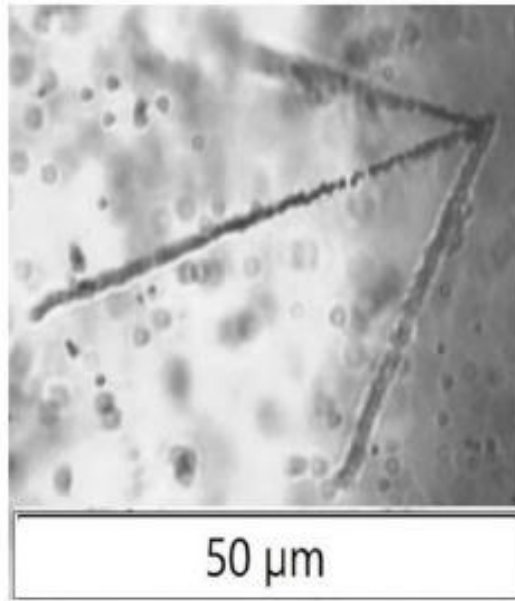
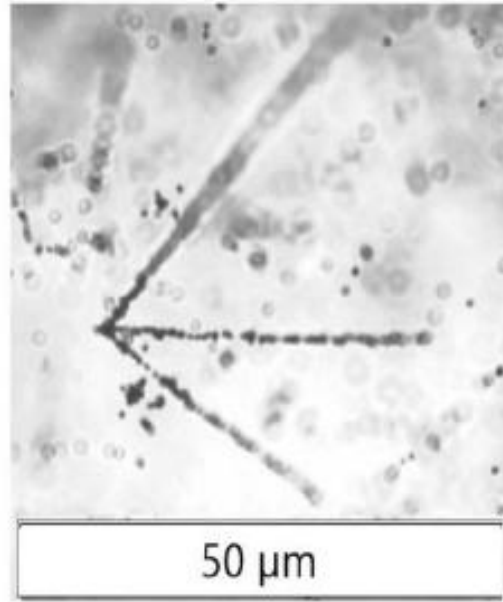
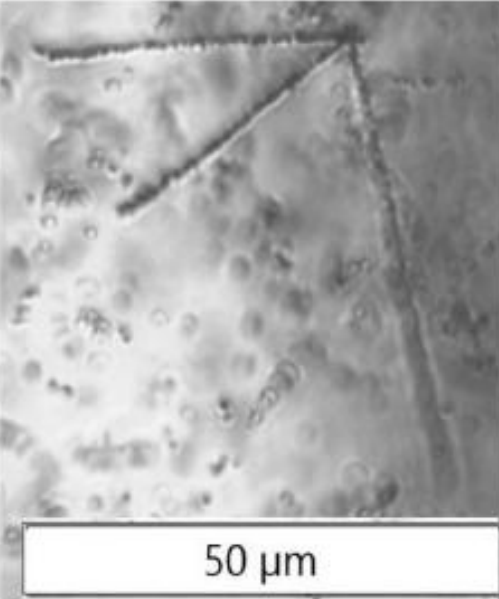
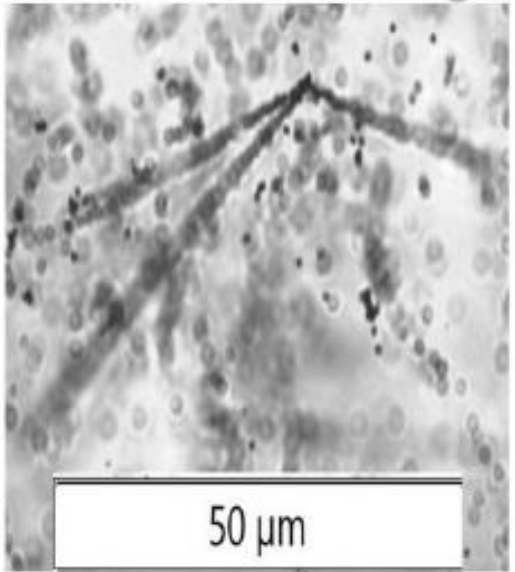


Having been tested, this approach has been used to identify ${}^8\text{Be}$ and HS and search for more complex states of α BEC in fragmentation of medium and heavy nuclei. Recently, based on the statistics of dozens of ${}^8\text{Be}$ decays, an enhancement in probability of detecting ${}^8\text{Be}$ in an event with an increase in number of relativistic α -particles was found. A preliminary conclusion is drawn that contributions of ${}^9\text{B}$ and HS decays also increase. The exotically large sizes and lifetimes of ${}^8\text{Be}$ and HS allowing suggesting possibility of synthesizing α BEC by successively connecting the emerging α -particles.

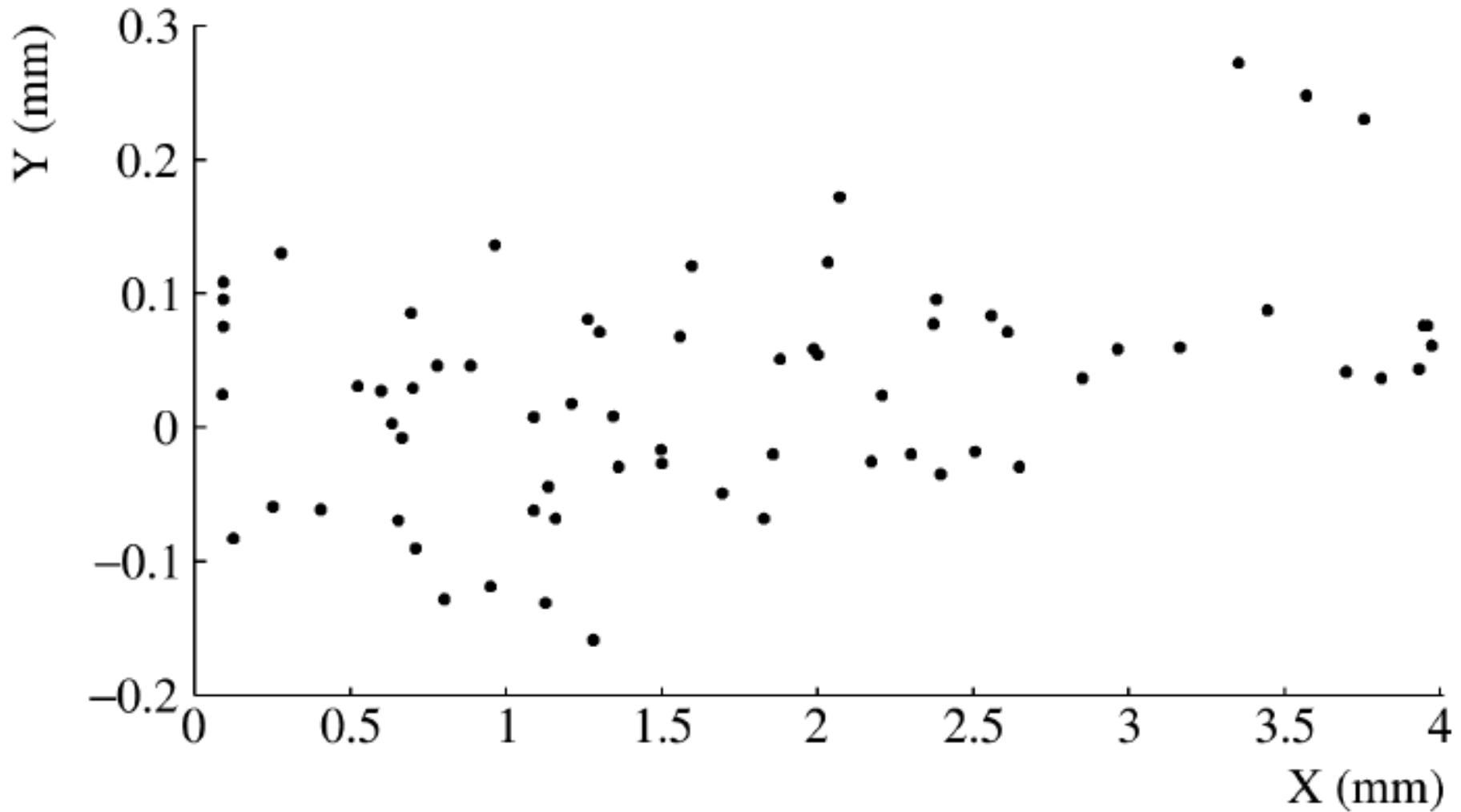
Target Fragments: 3 Mesons: 5 Projectile Fragment Charge > 23 (He - 7, H - 9)



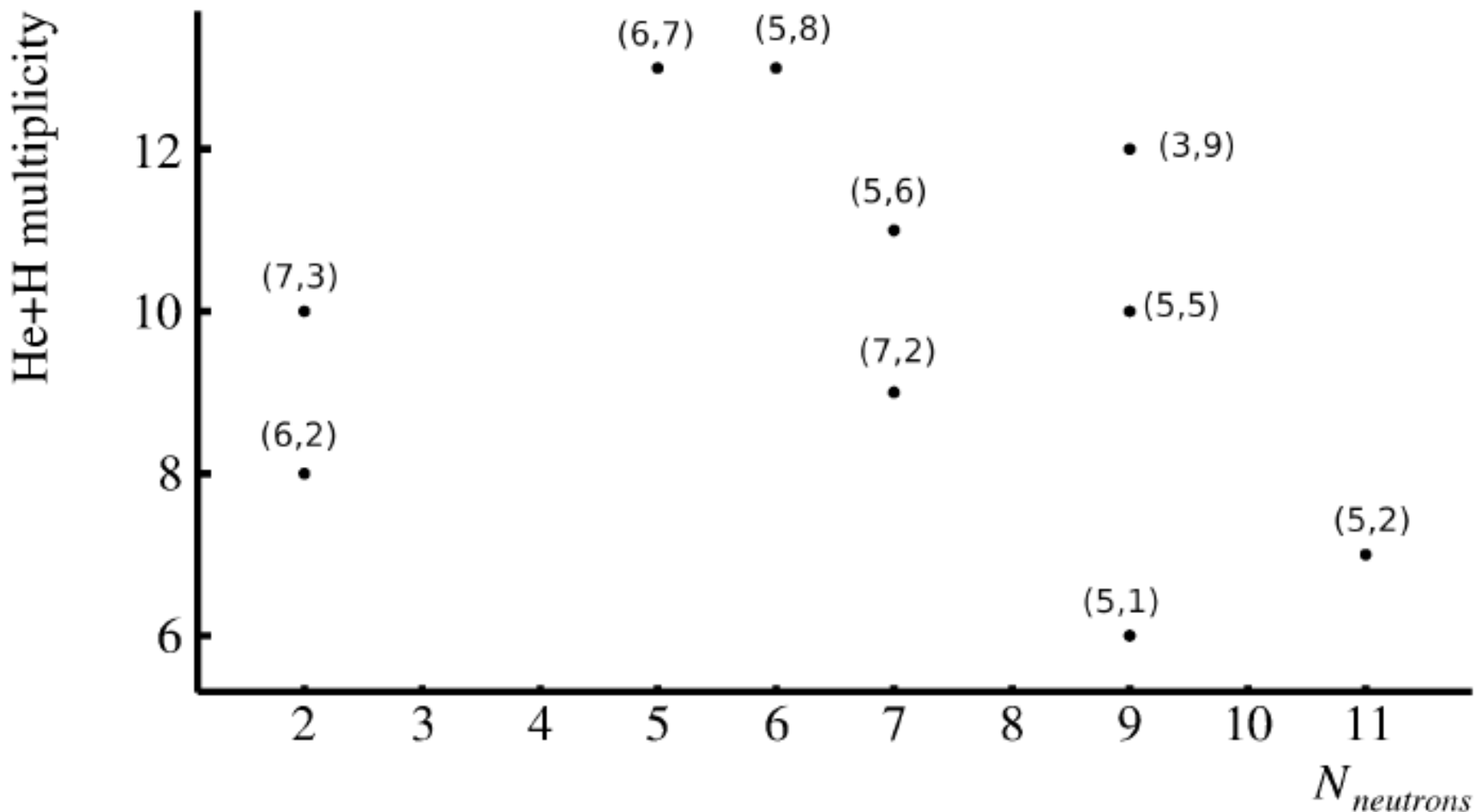
Projectile neutrons?



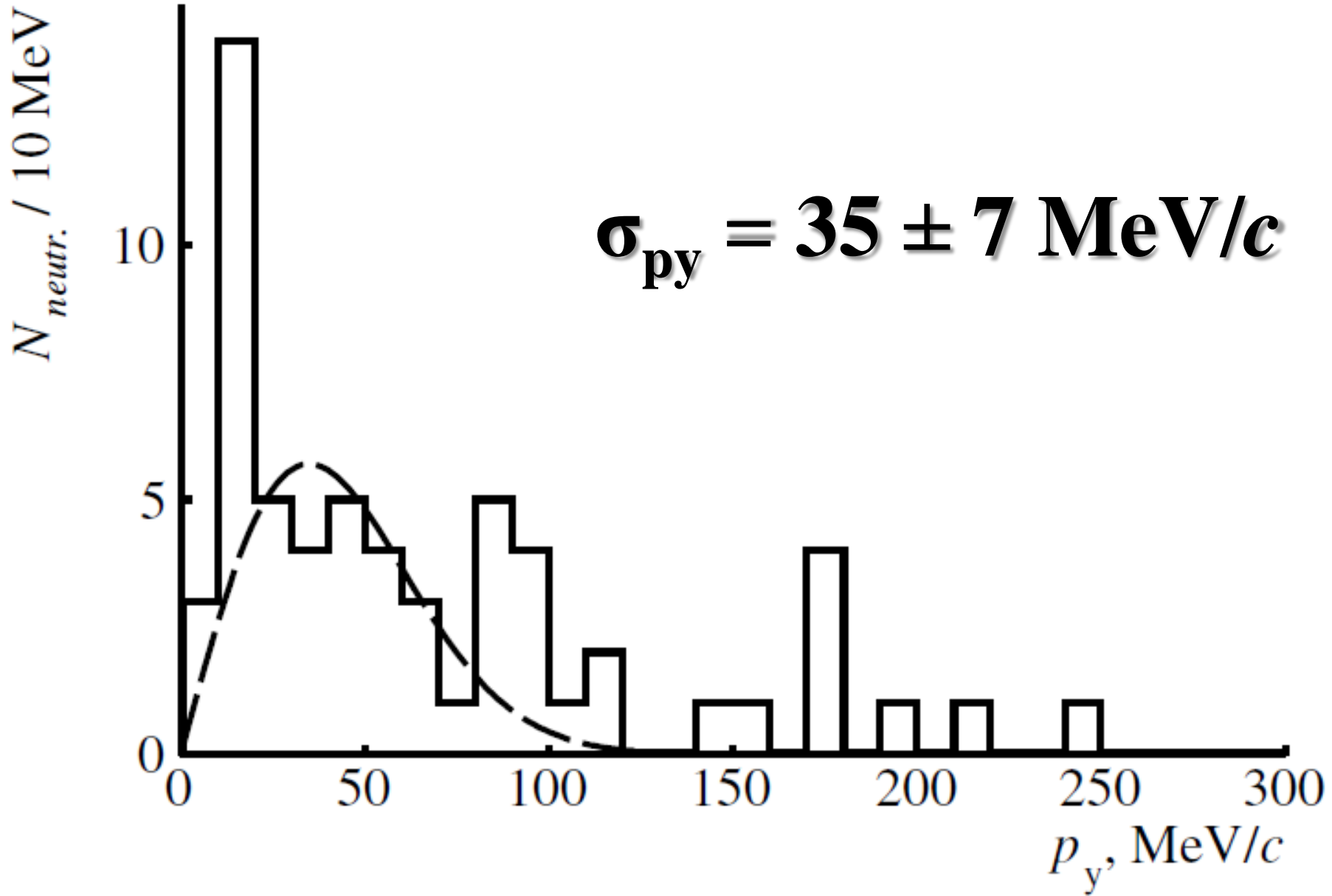
Projectile neutrons?

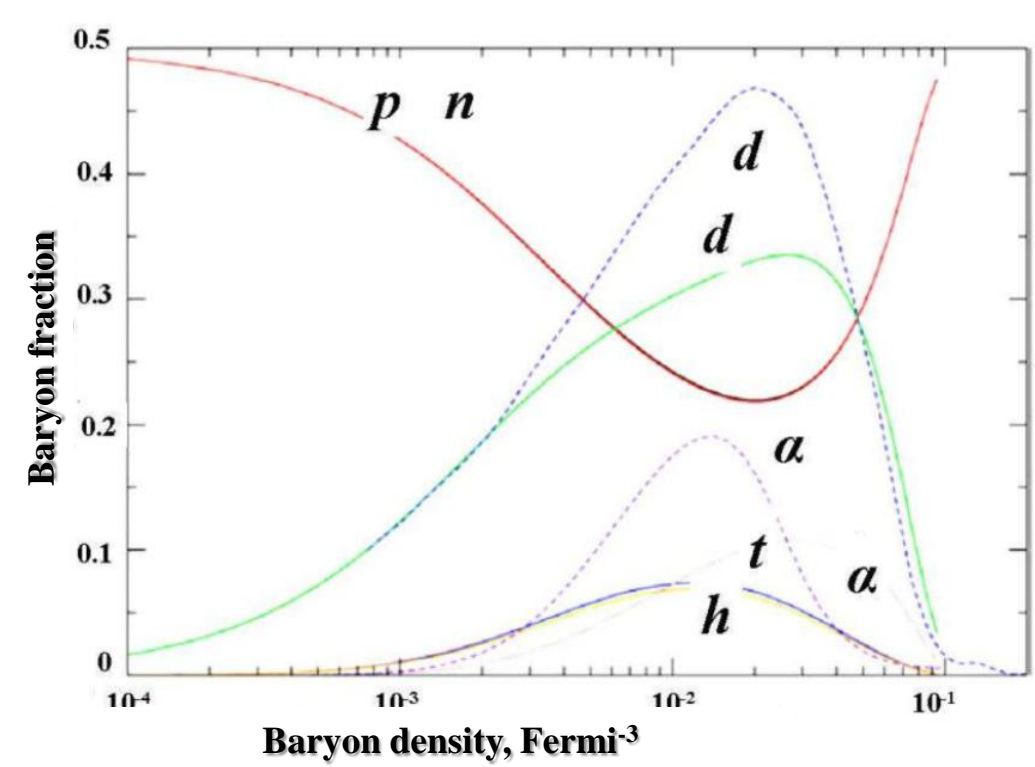
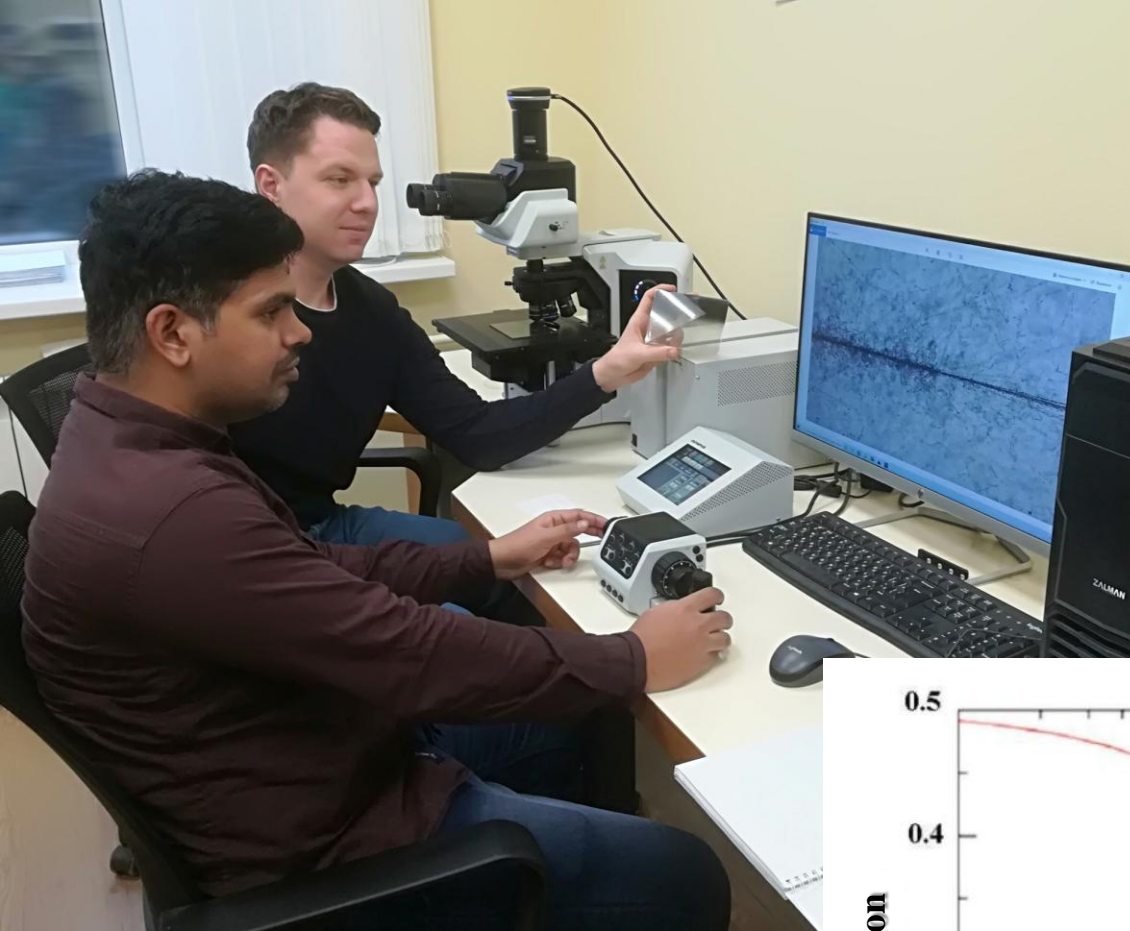


Projectile neutrons?

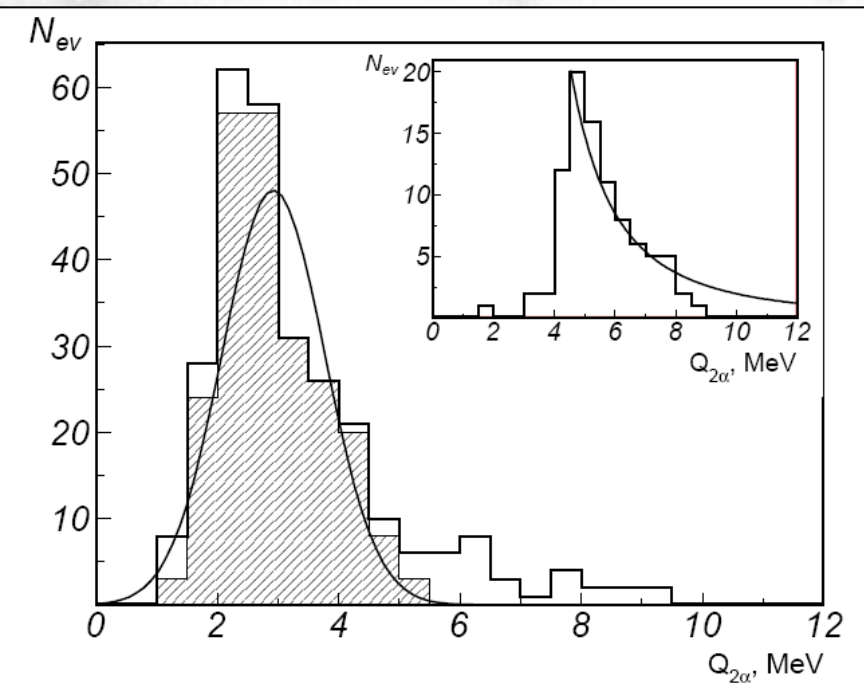


Projectile neutrons?

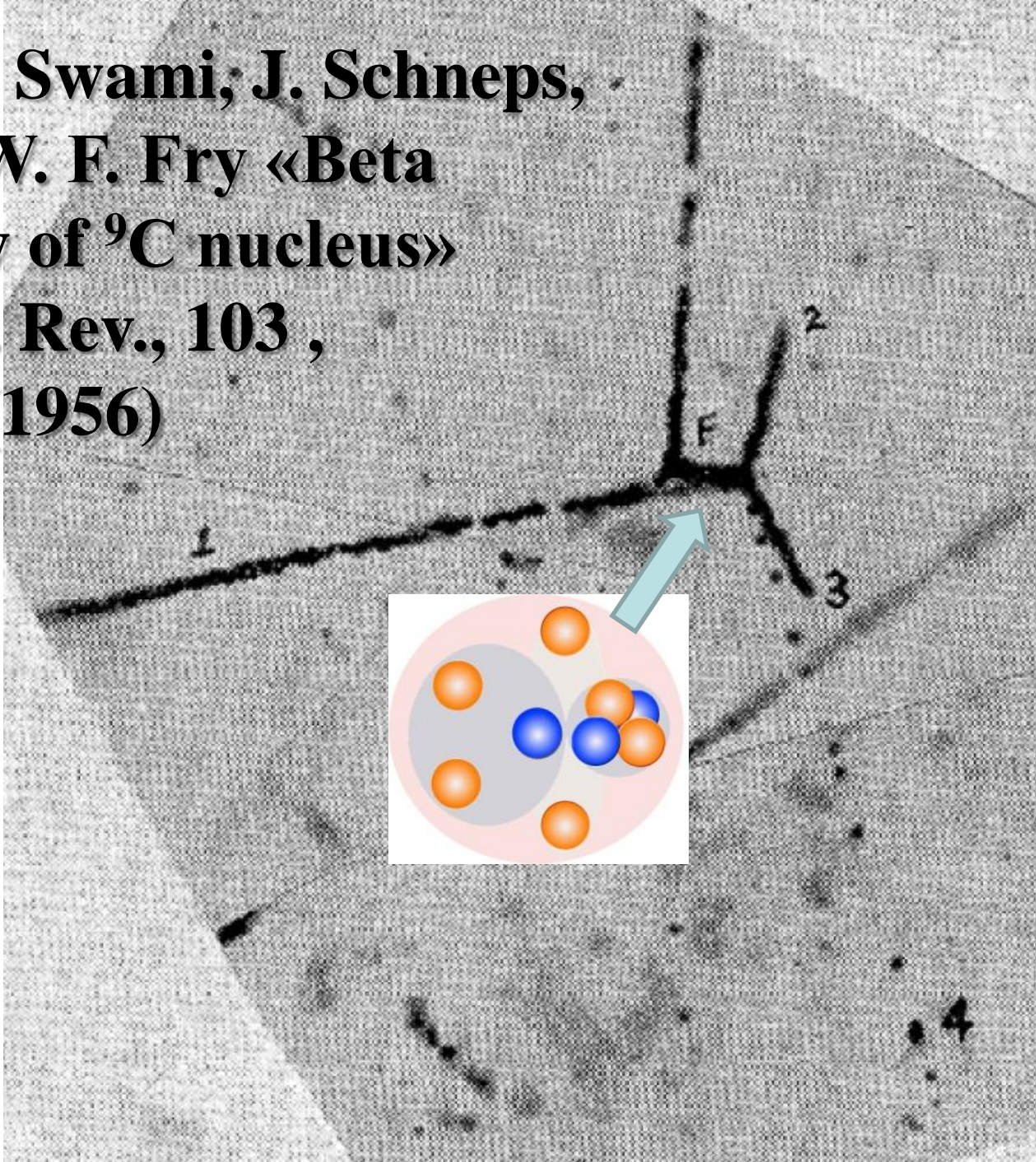




Exposure of Nuclear Track Emulsion to ${}^8\text{He}$ Nuclei at the ACCULINNA Separator



**M. S. Swami, J. Schneps,
and W. F. Fry «Beta
decay of ${}^9\text{C}$ nucleus»
Phys. Rev., 103 ,
1134(1956)**



[Clusters in Nuclei, Volume 3](#) pp 51-93 | [Cite as](#)

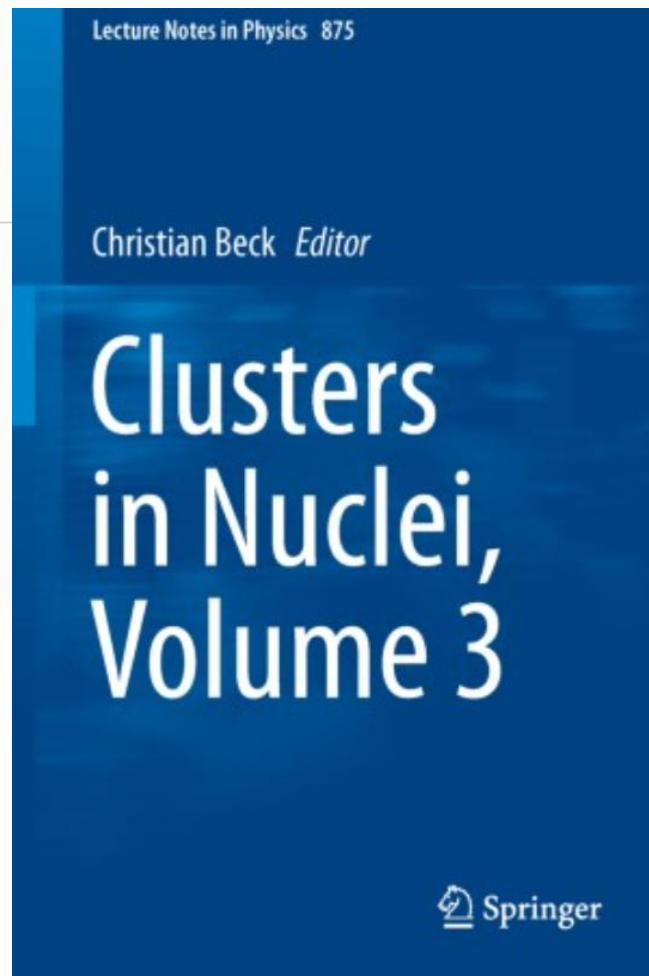
“Tomography” of the Cluster Structure of Light Nuclei via Relativistic Dissociation

Authors

[Authors and affiliations](#)

P. I. Zarubin [!\[\]\(c6747d08ffcbb3c0701a343df825d2f1_img.jpg\)](#)

 **1188** Accesses  **21** [Citations](#)



The Hoyle State in Relativistic ^{12}C Dissociation

Authors

Authors and affiliations

D. A. Artemenkov, M. Haiduc, N. K. Kornegrutsa, E. Mitsova, N. G. Peresadko, V. V. Rusakova, R. Stanoeva, A. A. Zaitsev,
P. I. Zarubin , I. G. Zarubina

Springer Proceedings in Physics 238

Conference paper

First Online: 07 January 2020

 1157 Accesses  3 Citations

N. A. Orr
M. Ploszajczak
F. M. Marqués
J. Carbonell *Editors*



Recent Progress in Few-Body Physics

Proceedings of the 22nd International
Conference on Few-Body Problems in
Physics

The European Physical Journal A

Light Clusters in Nuclei and Nuclear Matter: Nuclear Structure and Decay, Heavy Ion Collisions, and Astrophysics

David Blaschke, Hisashi Horiuchi, Masaaki Kimura, Gerd Roepke and Peter Schuck

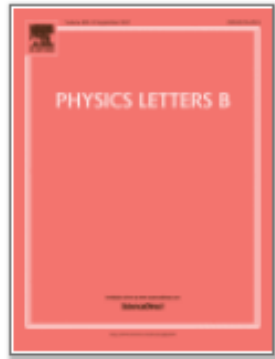
Regular Article - Experimental Physics | Published: 06 October 2020

Unstable states in dissociation of relativistic nuclei

Recent findings and prospects of research

D. A. Artymenkov, V. Bradnova, M. M. Chernyavsky, E. Firu, M. Haiduc, N. K. Kornegrutsa, A. I. Malakhov, E. Mitsova, A. Neagu, N. G. Peresadko, V. V. Rusakova, R. Stanoeva, A. A. Zaitsev, P. I. Zarubin  & I. G. Zarubina

The European Physical Journal A **56**. Article number: 250 (2020) | [Cite this article](#)



Correlation in formation of ${}^8\text{Be}$ nuclei and α -particles in fragmentation of relativistic nuclei

A.A. Zaitsev ^{a, b}  , D.A. Artemenkov ^a, V.V. Glagolev ^a, M.M. Chernyavsky ^b,
N.G. Peresadko ^b, V.V. Rusakova ^a, P.I. Zarubin ^{a, b}

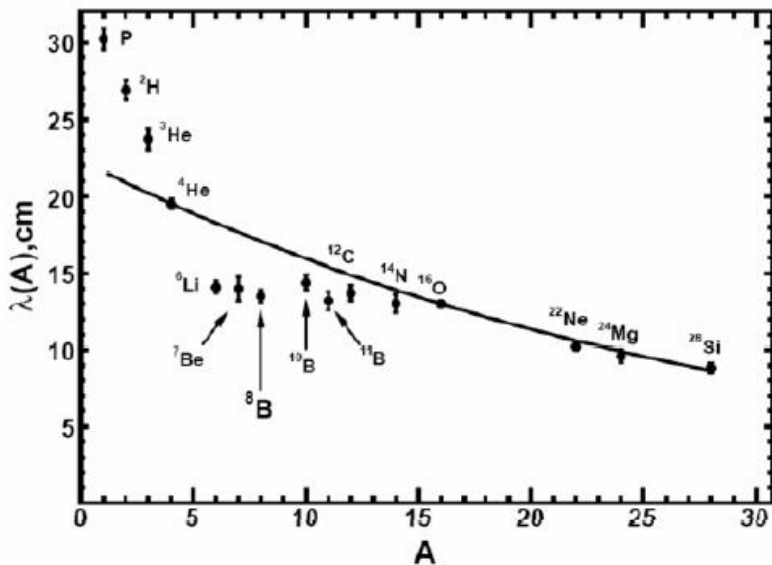


Рис. II.11 Данные по пробегам легких ядер в эмульсии, включая измерения настоящей работы (^7Be , ^8B , $^{10,11}\text{B}$, ^{14}N)

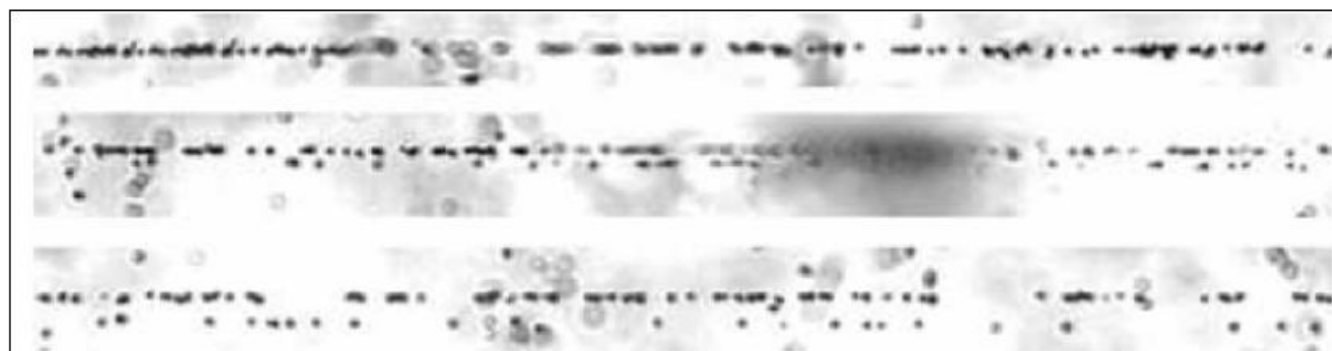
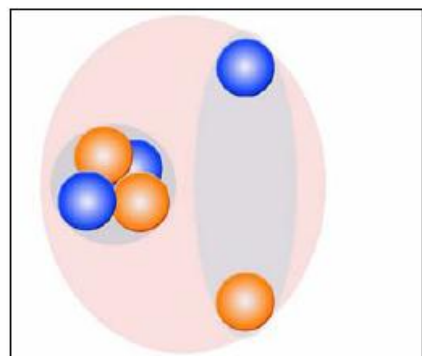
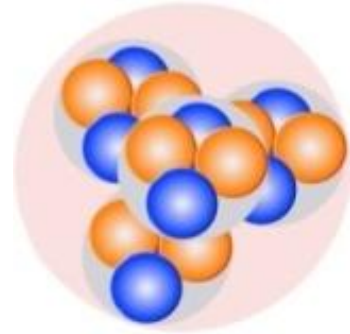
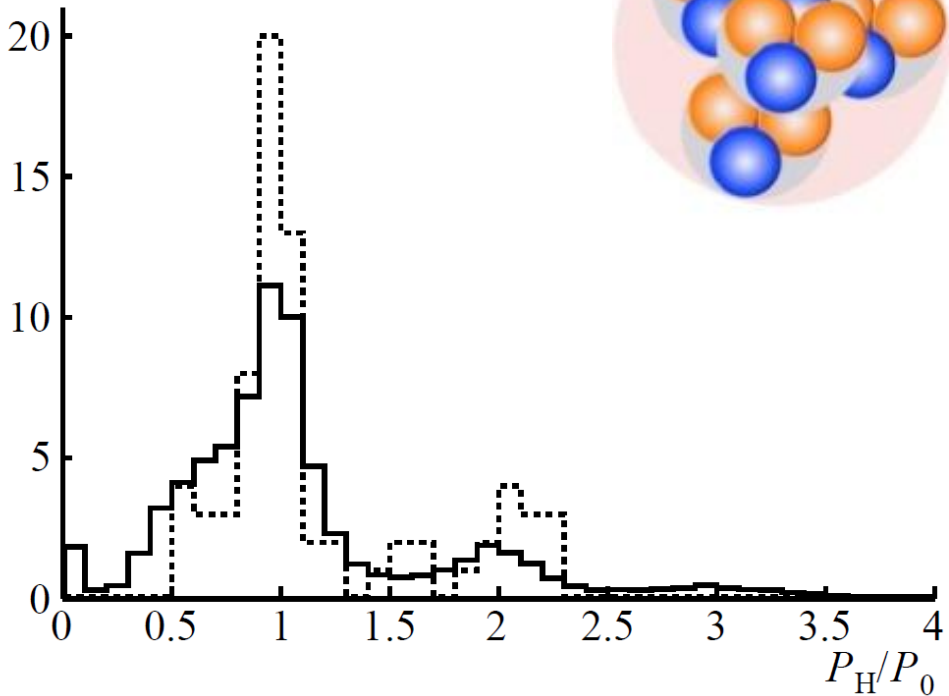
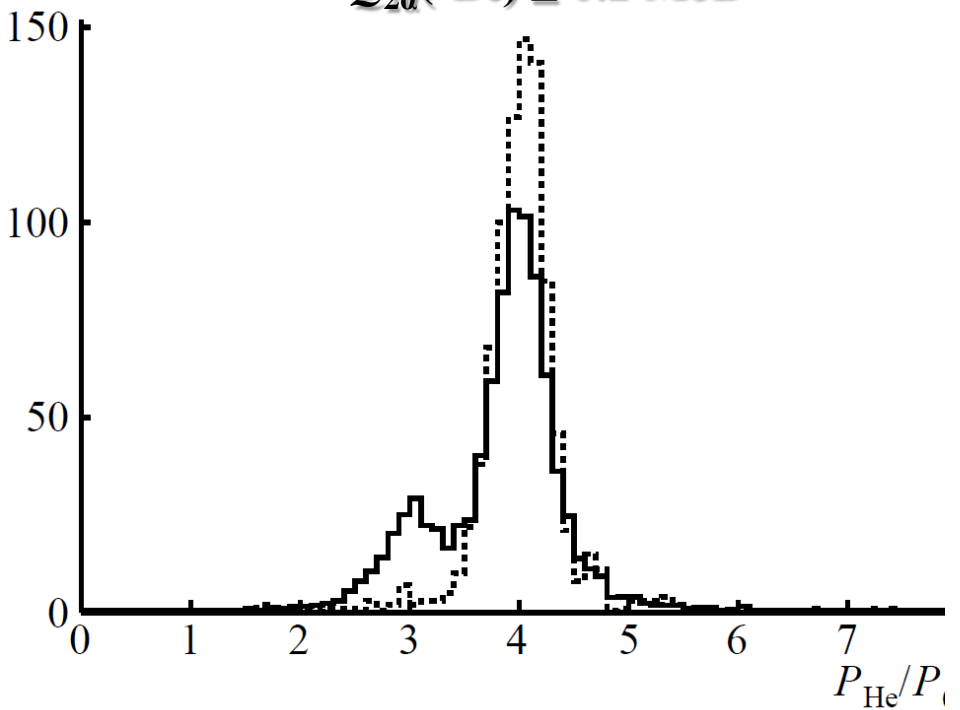


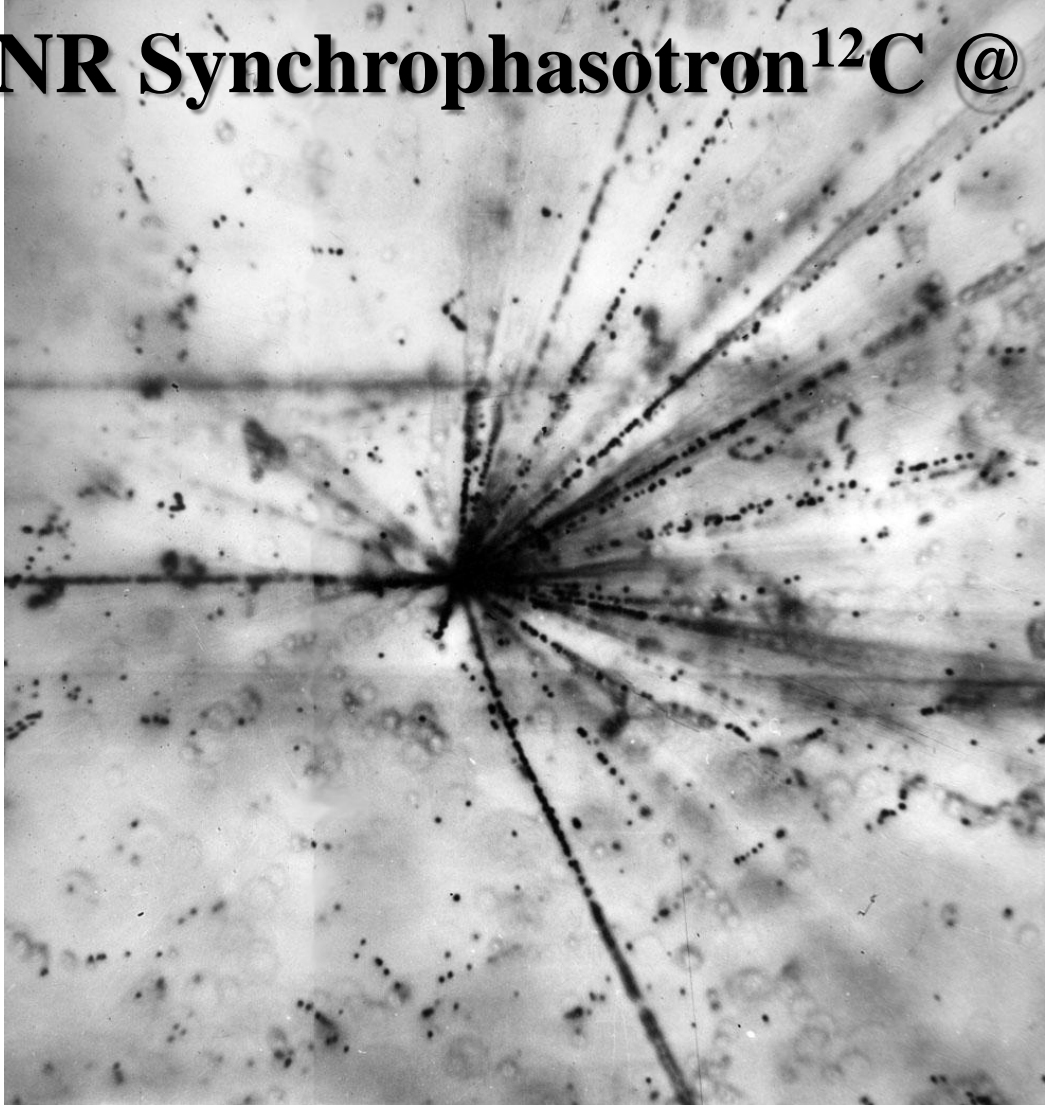
Рис II.12. Фрагментация релятивистского ядра ^6Li на одно- и двухзарядный фрагмент в эмульсии; на верхней фотографии видна вершина взаимодействия и узкая струя их двух фрагментов; при смещении вдоль струи фрагментов (нижние фотографии) отчетливо разделяются один однозарядный и один двухзарядный фрагменты

$Q_{2\alpha}(^8\text{Be}) \leq 0.2 \text{ МэВ}$

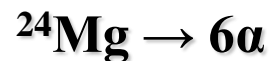


Проверить принятые приближения позволяют данные, полученные при облучении ядрами ^{16}O с энергией 2.4 ГэВ/нуклон 1-метровой водородной пузырьковой камеры ОИЯИ (ВПК-100), поместившейся в магнитное поле. Набор данных включает измерения в полной геометрии векторов импульсов продуктов реакции $^{16}\text{O} + p$ в 11104 соударениях всех видов. В этом случае также имеется пик в начальной части распределений по углу разлета 2α -пар $\Theta_{2\alpha}$, соответствующий распадам ^8Be . Согласно измеренным импульсам фрагментов условие $Q_{2\alpha}(^8\text{Be}) \leq 0.2 \text{ МэВ}$ удаляет вклад ^3He , а вклад протонов составляет 90% среди фрагментов Н.

1974 JINR Synchrophasotron ^{12}C @ 3.65 A GeV



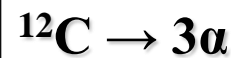
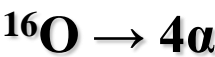
Становление в начале 70-х годов релятивистской ядерной физики было поддержано сообществами, имевшими богатый опыт применения ядерных эмульсий. Ускорители частиц открыли возможность изучения взаимодействий различных ядер определенной энергии, что позволило исследовать методом ядерной эмульсии спектры релятивистских фрагментов. Ядерная эмульсия облучалась ядрами, впервые ускорявшимися на синхрофазотроне ОИЯИ, БЕВАЛАКе, а затем, на ускорителях AGS (BNL) и SPS (CERN).

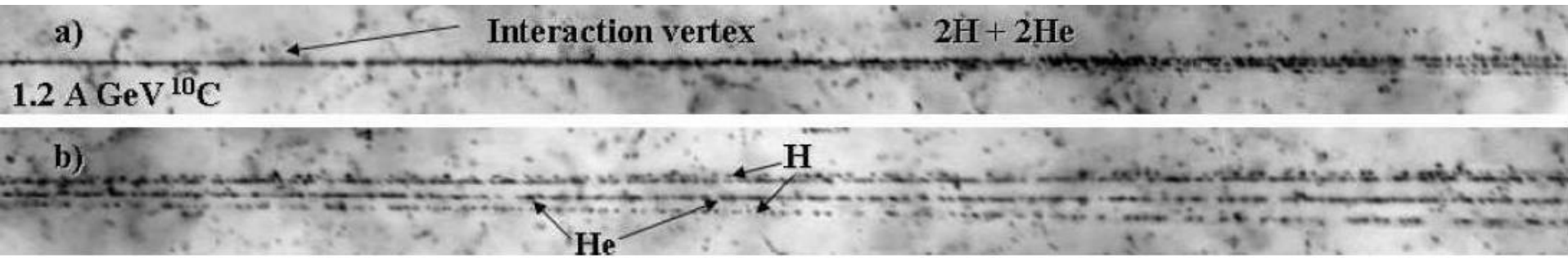


Исследование ядерной структуры в релятивистском подходе в условиях очень малых передач энергии–импульса имеет важные преимущества, поскольку в конечных состояниях фрагментов должна наиболее полно отражаться структура начальных состояний ядер.

Современные эксперименты проводятся с релятивистскими радиоактивными ядрами с большим избытком нейтронов на магнитных спектрометрах. Они ориентированы на регистрацию фрагментов с начальным зарядом как у исследуемого ядра или близким к нему.

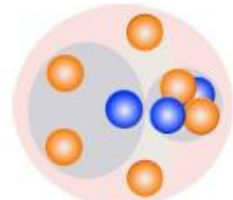
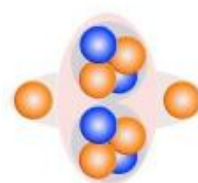
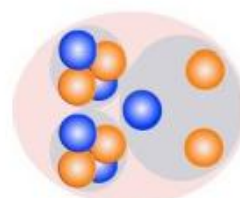
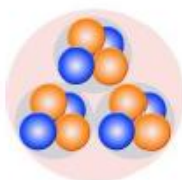
Однако в таком подходе теряются принципиально важные каналы, содержащие фрагменты He и H , и, соответственно, распады ^8Be и ^9B . Возможность разрешения этой проблемы методом ядерной эмульсии мотивирует эксперимент БЕККЕРЕЛЬ на нуклонроне ОИЯИ.

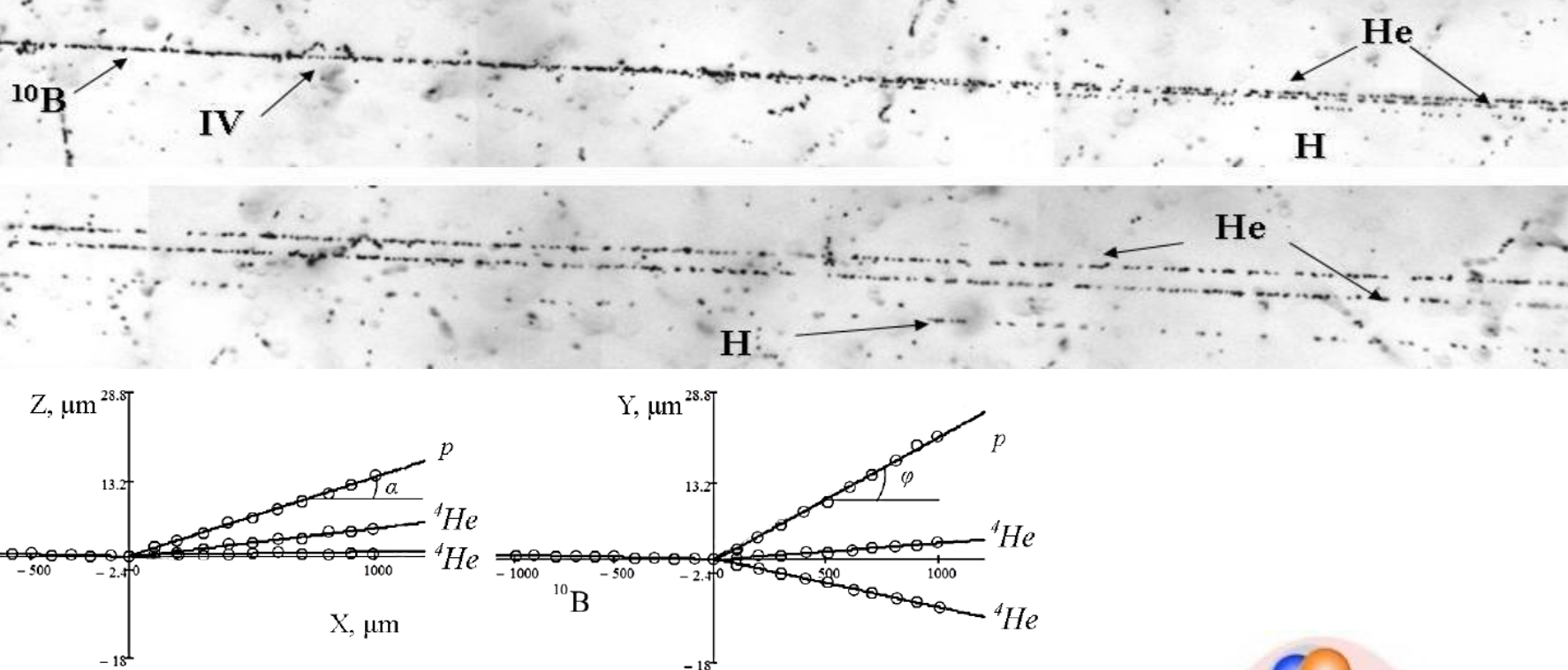




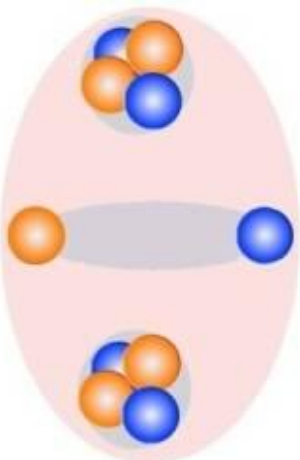
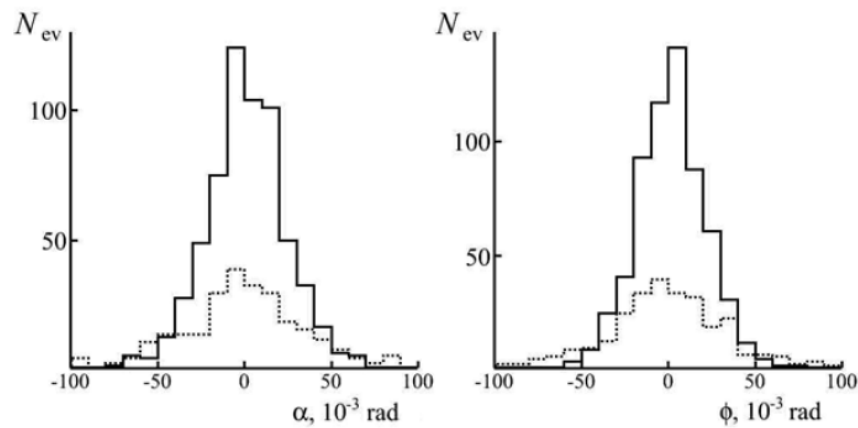
Charge topology of “white” stars

Channel	^{12}C	^{11}C	^{10}C	^9C
$\text{B} + \text{H}$		6 (5 %)	1 (0.4 %)	15 (14 %)
$\text{Be} + \text{He}$		18 (13 %)	6 (2.6 %)	
$\text{Be} + 2\text{H}$				16 (15 %)
3He	100 (100 %)	25 (17 %)	12 (5.3 %)	16 (15 %)
$2\text{He} + 2\text{H}$		72 (50 %)	186 (82 %)	24 (23 %)
$\text{He} + 4\text{H}$		15 (11 %)	12 (5.3 %)	28 (27 %)
$\text{Li} + \text{He} + \text{H}$		5 (3 %)		
$\text{Li} + 3\text{H}$			1 (0.4 %)	2 (2 %)
6H		3 (2 %)	9 (4 %)	6 (6 %)

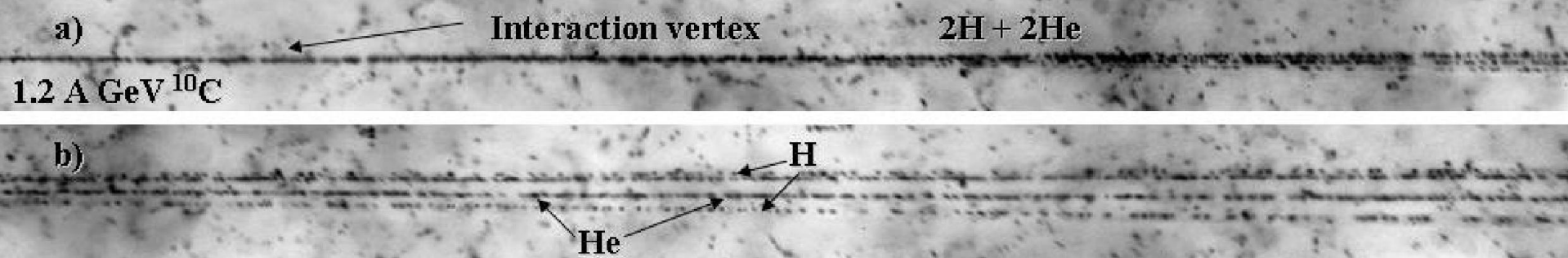




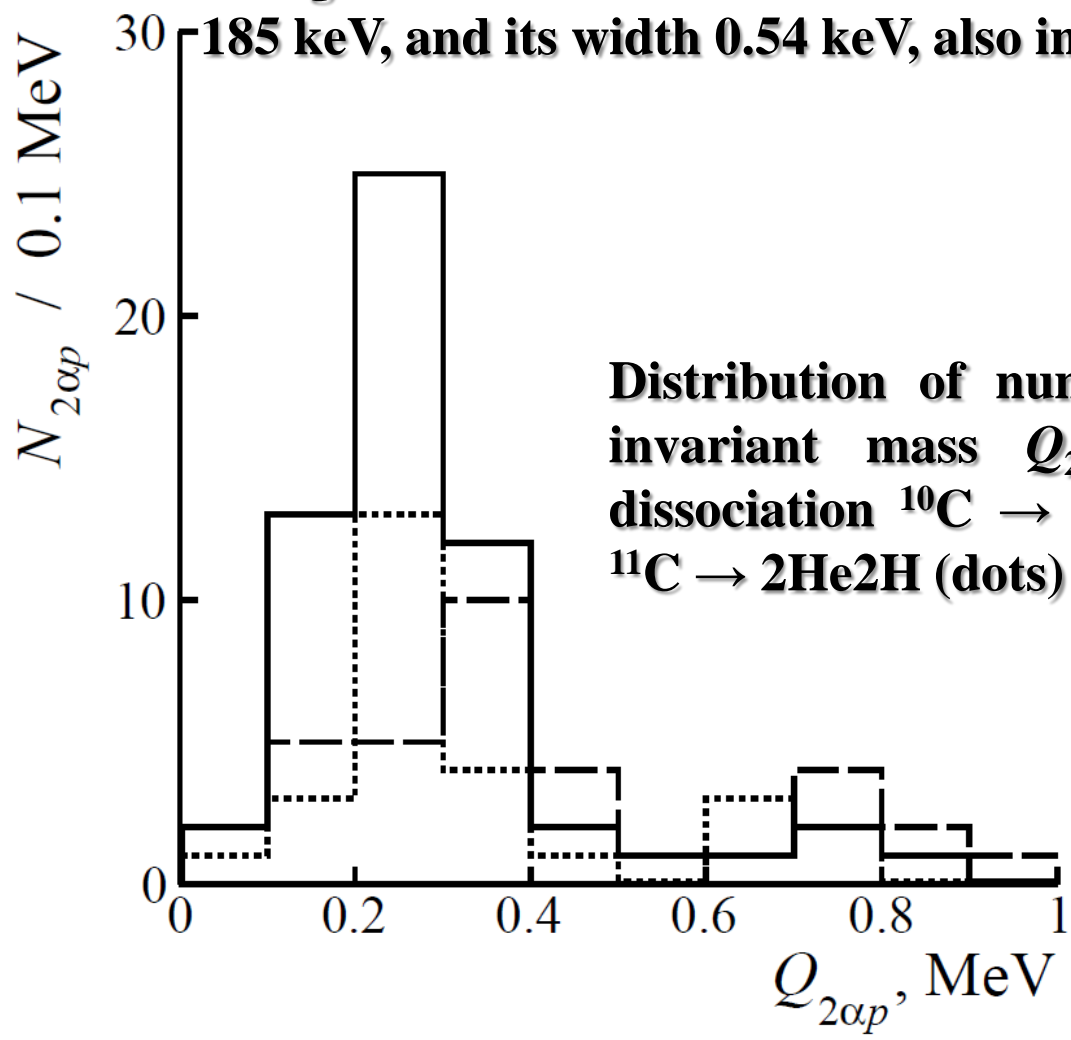
Example of restored directions in event $^{10}\text{B} \rightarrow 2\text{He} + \text{H}$ @ 1.2 A GeV over vertical and planar planes.



Distributions of fragments He (solid) and H (dotted) over dip and planar angles α and ϕ in events
 $^{10}\text{B} \rightarrow 2\text{He} + \text{H}$ @ 1.2 A GeV.



The ground state of the ${}^9\text{B}$ nucleus is higher than the ${}^8\text{Be}p$ threshold by 185 keV, and its width 0.54 keV, also indicates that it is a long-lived state.



Distribution of number of $2\alpha p$ triples $N_{2\alpha p}$ over invariant mass $Q_{2\alpha p}$ (< 1 MeV) in coherent dissociation ${}^{10}\text{C} \rightarrow 2\text{He}2\text{H}$ (solid) and dissociation ${}^{11}\text{C} \rightarrow 2\text{He}2\text{H}$ (dots) and ${}^{10}\text{B} \rightarrow 2\text{HeH}$ (dashed).

Статистика событий, содержащих не менее одного кандидата в распад ${}^8\text{Be}$, HS или ${}^9\text{B}$ или не менее двух ${}^8\text{Be}$ при условии $Q_{2a}({}^8\text{Be}) \leq 0.4$ МэВ среди N_{na} событий фрагментации ядер ${}^{197}\text{Au}$ с множественностью n_a ; курсивом выделена суммарная статистика каналов $n_a \geq 11$.

n_a	$N_{na}({}^8\text{Be})/N_{na}$ (% N_{na})	$N_{na}({}^9\text{B})$ (% $N_{na}({}^8\text{Be})$)	$N_{na}(\text{HS})$ (% $N_{na}({}^8\text{Be})$)	$N_{na}(2{}^8\text{Be})$ (% $N_{na}({}^8\text{Be})$)
2	3/133 (2 ± 1)	-	-	-
3	14/162 (9 ± 3)	1 (7)	-	-
4	25/161 (16 ± 4)	7 (28 ± 12)	2 (8 ± 6)	-
5	23/135 (17 ± 4)	5 (22 ± 11)	-	1 (4)
6	31/101 (31 ± 7)	9 (29 ± 11)	2 (6 ± 4)	-
7	31/90 (34 ± 7)	6 (19 ± 9)	2 (6 ± 4)	3 (10 ± 6)
8	32/71 (45 ± 10)	8 (25 ± 10)	2 (6 ± 4)	2 (7 ± 5)
9	29/54 (54 ± 13)	9 (31 ± 12)	3 (10 ± 6)	5 (17 ± 8)
10	22/39 (56 ± 15)	4 (18 ± 10)	-	5 (23 ± 12)
11	10/15 (67 ± 27) 19/30 (63 ± 19)	3 (30 ± 20) 7 (37 ± 16)	1 (10) 2 (11 ± 8)	2 (20 ± 16) 6 (32 ± 15)
12	2/5	1	-	1
13	2/4	1	-	1
14	3/3	1	-	1
15	1/1	-	-	-
16	1/2	1	1	1

ЗАКЛЮЧЕНИЕ

Проект БЕККЕРЕЛЬ2023 на ускорительном комплексе НУКЛОТРОН/NICA для продолжит исследования периферических взаимодействий релятивистских ядер, в которых только метод ядерной эмульсии обеспечивает требуемое разрешение, полноту и единообразие наблюдений.

Проект сфокусирован на поиске α -частичного конденсата Бозе-Эйнштейна (4 α ВЕС). Для легких ядер, в том числе радиоактивных, апробирована идентификация по инвариантной массе распадов $^8\text{Be} \rightarrow 2\alpha$, $^9\text{Be} \rightarrow 2\alpha$ и $^{12}\text{C}(0^+_2) \rightarrow ^8\text{Be}\alpha$ (состояние Хойла). Тенденция к росту ^8Be с числом α -частиц, а также ^9B и $^{12}\text{C}(0^+_2)$, недавно обнаруженная для средних и тяжелых ядер, указывает на возможность синтеза 4 α ВЕС.

Проект БЕККЕРЕЛЬ2023 нацелен на анализ фрагментации ^{84}Kr при 950 МэВ на нуклон для прояснения связи ^8Be и состояния Хойла и множественностью α -ансамблей и поиске на этой основе распадов состояния $^{16}\text{O}(0^+_6) \rightarrow ^{12}\text{C}(0^+_2)\alpha$ и 2^8Be как кандидата в 4 α ВЕС. Попутно оценивается множественность и поперечные импульсы сопровождающих нейтронов.

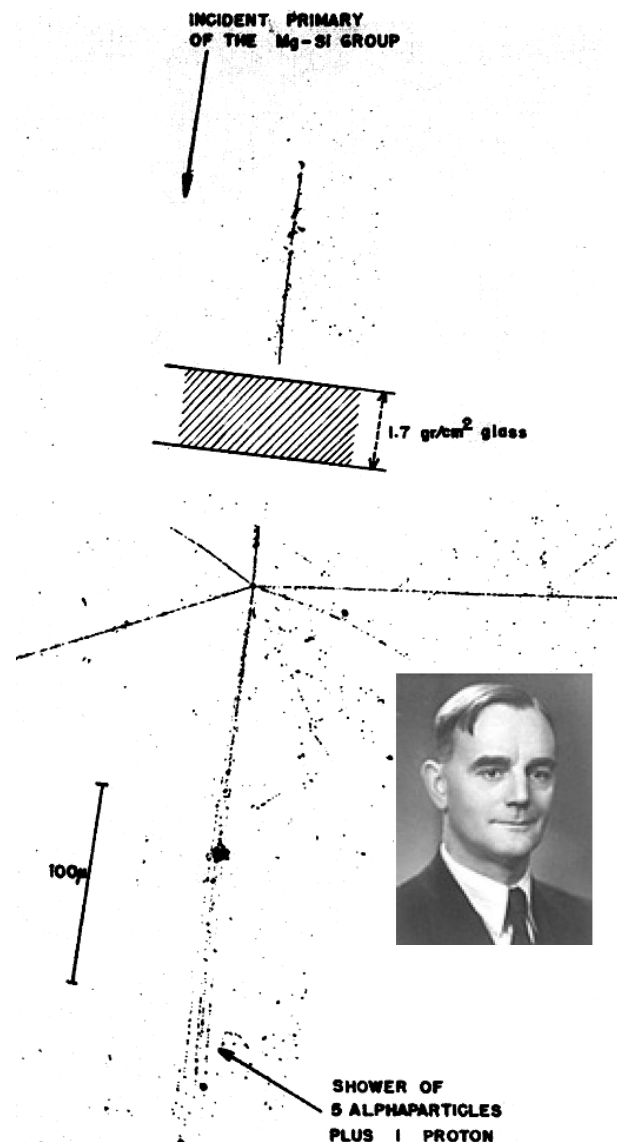
В продолжение исследований с легкими ядрами в диссоциации ^9Be и ^{10}C ведется поиск изобар-аналоговых состояний ^8Be и ^9B . Во фрагментации ядер из состава эмульсии под действием релятивистских частиц осваивается методика идентификации по инвариантной массе ансамблей остановившихся α -частиц.

В декабре 2022 г. слои ядерной эмульсии облучены ядрами ^{124}Xe с энергией 3.8 ГэВ на нуклон. Тем самым, получен материал для анализа множественных состояний α -частиц и нуклонов при оптимальной энергии. Определение среднего разворота пучковых следов указывает на возможность идентификации релятивистских изотопов. Применение CR-39 позволило полностью реконструировать профиль и интенсивность использованного пучка.

В целом, сочетание классических ядерных методик и успешное освоение моторизованного микроскопа позволяет развить в ОИЯИ исследования с релятивистскими радиоактивными изотопами, привлекая к ним молодых исследователей.

The Heavy Nuclei of the Primary Cosmic Radiation

H. L. BRADT AND B. PETERS
University of Rochester, Rochester, New York
 (Received September 9, 1949)



The Study of Elementary Particles by the Photographic Method

*An account of
The Principal Techniques and Discoveries
illustrated by
An Atlas of Photomicrographs*

BY
 C. F. POWELL
 P. H. FOWLER and D. H. PERKINS

H. H. WILLS PHYSICAL LABORATORY
 UNIVERSITY OF BRISTOL



Объединенный институт
ядерных исследований
БИБЛИОТЕКА



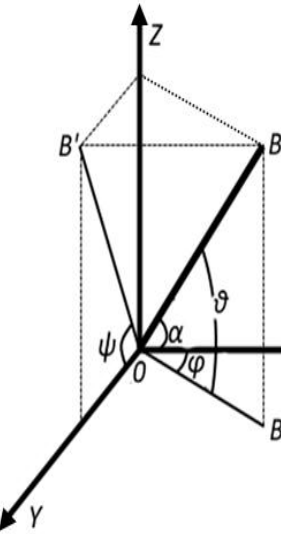
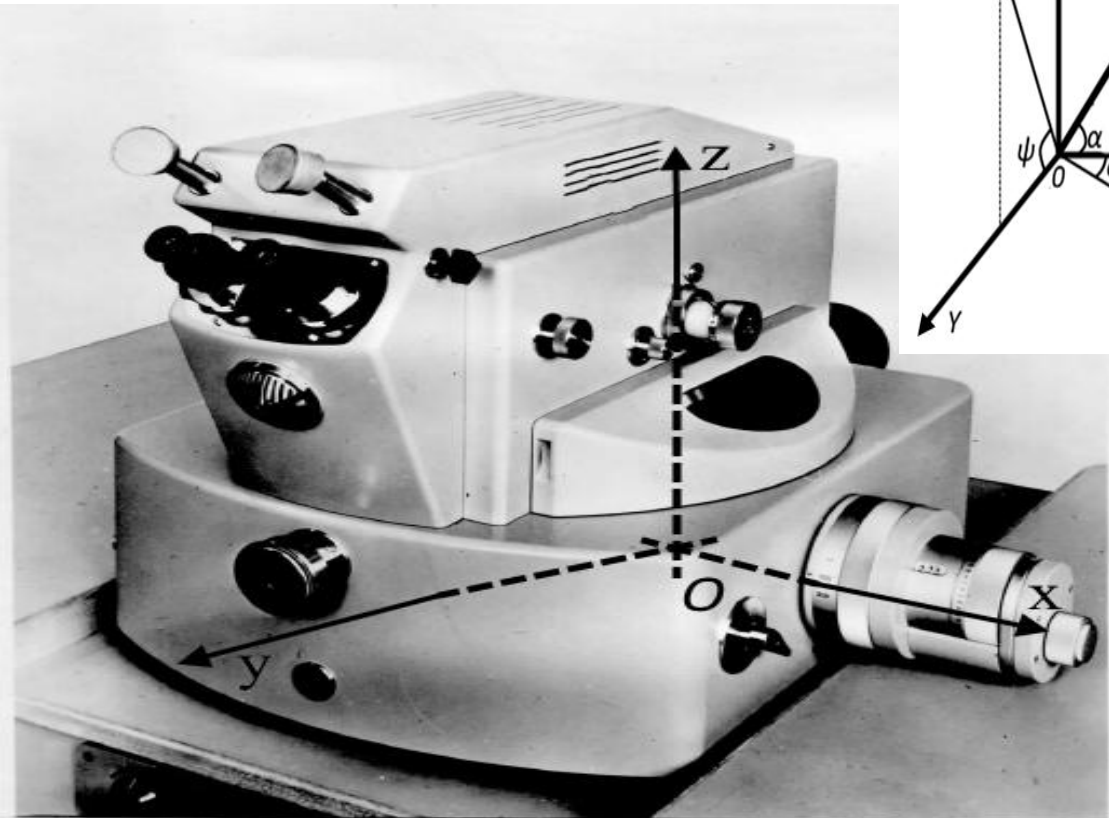
PERGAMON PRESS
 LONDON · NEW YORK · PARIS · LOS ANGELES

Dissociation of ^{10}C Nuclei in a Track Nuclear Emulsion at an Energy of 1.2 GeV per Nucleon

K. Z. Mamatkulov^{1),2)}, R. R. Kattabekov^{1),3)}, S. S. Alikulov²⁾,
D. A. Artemenkov¹⁾, R. N. Bekmirzaev²⁾, V. Bradnova¹⁾, P. I. Zarubin^{1)*},
I. G. Zarubina¹⁾, N. V. Kondratieva¹⁾, N. K. Kornegrutsa¹⁾, D. O. Krivenkov¹⁾,
A. I. Malakhov¹⁾, K. Olimov³⁾, N. G. Peresadko⁴⁾, N. G. Polukhina⁴⁾,
P. A. Rukoyatkin¹⁾, V. V. Rusakova¹⁾, R. Stanoeva^{1),5)}, and S. P. Kharlamov⁴⁾

Received March 21, 2012

Abstract—The charge topology in the fragmentation of ^{10}C nuclei in a track nuclear emulsion at an energy of 1.2 GeV per nucleon is studied. In the coherent dissociation of ^{10}C nuclei, about 82% of events are associated with the channel $^{10}\text{C} \rightarrow 2\alpha + 2p$. The angular distributions and correlations of product fragments are presented for this channel. It is found that among $^{10}\text{C} \rightarrow 2\alpha + 2p$ events, about 30% are associated with the process in which dissociation through the ground state of the unstable $^9\text{Be}_{\text{g.s.}}$ nucleus is followed by $^8\text{Be}_{\text{g.s.}} + p$ decays.



$$P_x = P_0 \cdot A \cdot \cos \alpha \cdot \cos \varphi$$

$$P_y = P_0 \cdot A \cdot \cos \alpha \cdot \sin \varphi$$

$$P_z = P_0 \cdot A \cdot \sin \alpha$$

$$P_{tot} = \sqrt{P_x^2 + P_y^2 + P_z^2}$$

$$E_\alpha = \sqrt{P_0^2 \cdot A^2 + m_\alpha^2}$$

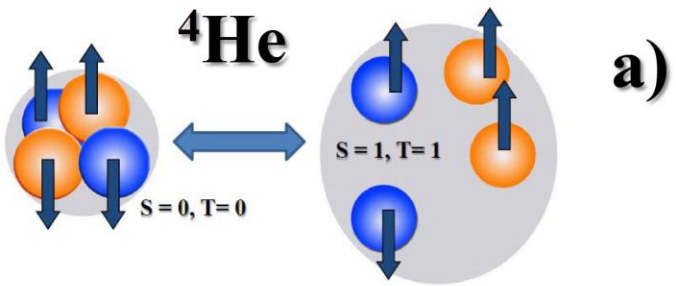
$$\Theta_{2\alpha} = \frac{P_{x1} \cdot P_{x2} + P_{y1} \cdot P_{y2} + P_{z1} \cdot P_{z2}}{P_{tot1} \cdot P_{tot2}}$$

$$Q_{2\alpha} = M_{2\alpha} - 2 \cdot m_\alpha$$

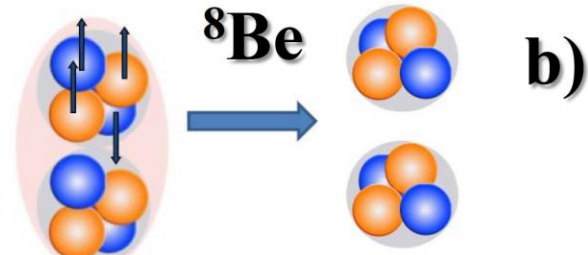
$$Q_{2\alpha} = \sqrt{2 \cdot [m_\alpha^2 + E_\alpha^2 - \vec{P}_{\alpha 1} \cdot \vec{P}_{\alpha 2}] - 2 \cdot m_\alpha}$$

$$Q_{3\alpha} = \sqrt{3 \cdot m_\alpha^2 + 2 \cdot \sum_{i \neq j} (E_{\alpha i} \cdot E_{\alpha j} - \vec{P}_{\alpha i} \cdot \vec{P}_{\alpha j}) - 3 \cdot m_\alpha}$$

Инвариантная масса системы релятивистских фрагментов определяется как сумма всех произведений 4-импульсов $P_{i,k}$ фрагментов $M^{*2} = \sum(P_i \cdot P_k)$. Вычитание массы начального ядра или суммы масс фрагментов $Q = M^* - M$ является вопросом удобства представления. Компоненты $P_{i,k}$ определяются в приближении сохранения фрагментами начального импульса на нуклон. Реконструкция по инвариантной массе распадов нестабильных ядер ${}^8\text{Be}$ и ${}^9\text{B}$, освоенная в эксперименте БЕККЕРЕЛЬ, подтвердила справедливость этого приближения.



a)



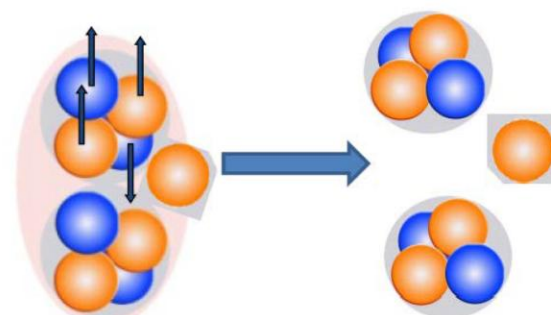
b)

${}^8\text{B}^*(16.6 + 16.9, 108 + 74 \text{ keV. } J^\pi = 2^+, T = 0 + 1)$



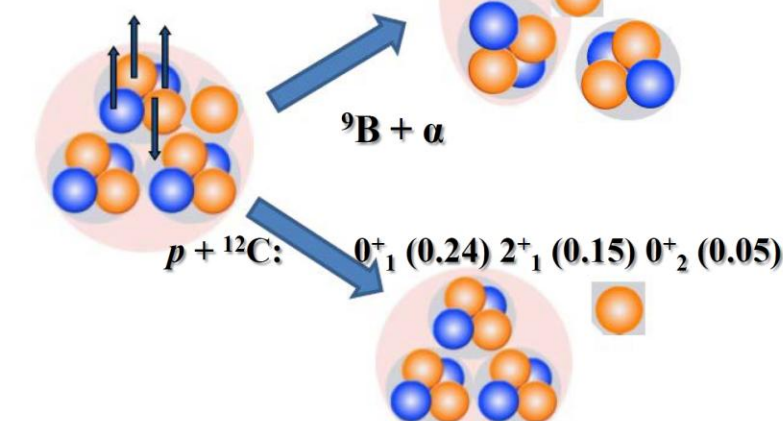
c)

${}^9\text{B}^*(14.655, 0.395 \text{ keV. } J^\pi = 3/2^-, T = 3/2)$



${}^9\text{B}(J^\pi = 1/2^-, T = 1/2)$

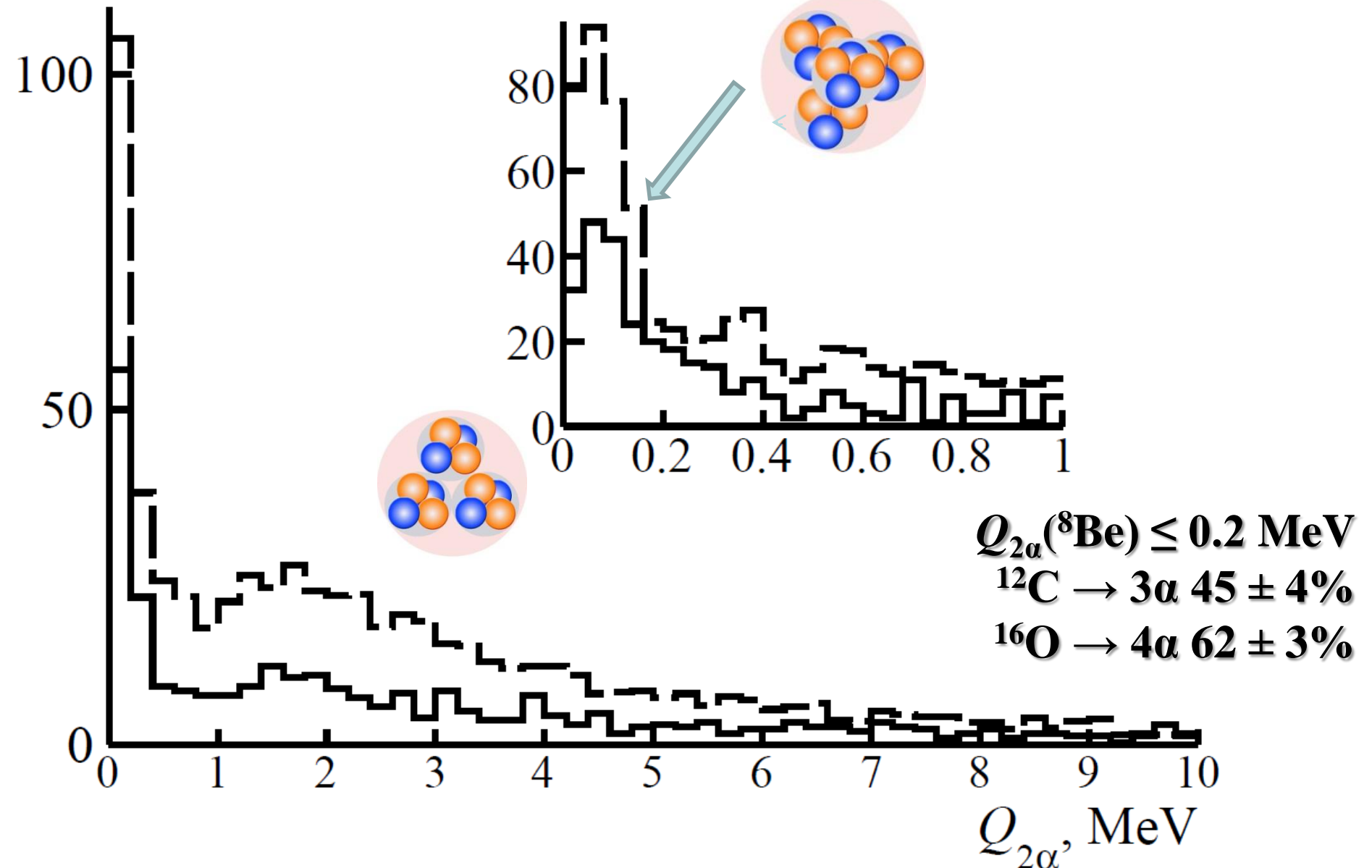
${}^{13}\text{N}(J^\pi = 1/2^-, T = 1/2)$



${}^{13}\text{N}^*(15.065, 0.86 \text{ keV. } J^\pi = 3/2^-, T = 3/2)$

d)

In continuation of the study of the fragmentation of light nuclei, searches for decays of isobar-analogue states (IAS) including excitations ${}^8\text{Be}^*$ and ${}^9\text{B}^*$ has begun. Manifesting at high excitation energy, but also having very small widths, IASs serve as “beacons” for structural rearrangement in the direction of similarity with their less stable isobars. In the context of naBEC and IAS, the analysis of NTE exposed to ${}^9\text{Be}$ and ${}^{10}\text{C}$ nuclei will continue.



Distribution of number of 2α -pair combinations $N_{2\alpha}$ over the invariant mass $\mathcal{Q}_{2\alpha}$ in coherent dissociation of $^{12}\text{C} \rightarrow 3\alpha$ (solid) and $^{16}\text{O} \rightarrow 4\alpha$ (dashed) at 3.65 A GeV ; inset shows enlarged part of distributions $\mathcal{Q}_{2\alpha} < 1 \text{ MeV}$ (step 40 keV).

SUMMARY

The BECQUEREL experiment is aimed at nuclear clustering physics. The nuclear track emulsion (NTE) makes it possible to study multiple final states arising in dissociation of relativistic nuclei. A current focus is on the theoretical concept of α -particle Bose-Einstein condensate (α BEC).

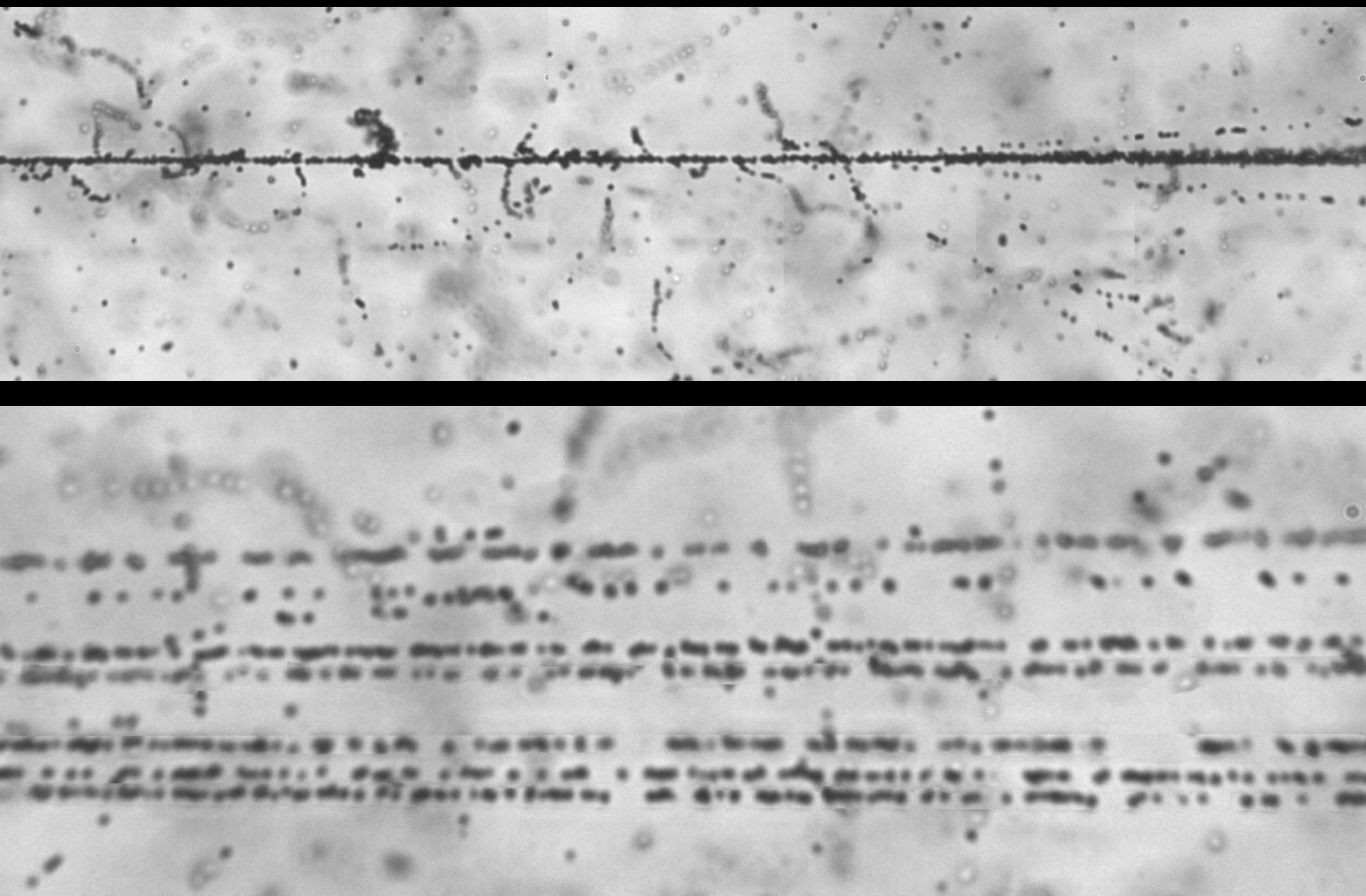
Owing to extremely small energies and widths, the ${}^8\text{Be}$ and HS decays, as well as ${}^9\text{B} \rightarrow {}^8\text{Be}p$, are identified in fragmentation of light nuclei by an upper constraint on the invariant mass. This approach has been used to identify ${}^8\text{Be}$ and HS and search for more complex states of α BEC in fragmentation of medium and heavy nuclei.

An enhancement in probability of detecting ${}^8\text{Be}$ in an event with an increase in number of relativistic α -particles is found. Contributions of ${}^9\text{B}$ and HS decays also increase. The exotically large sizes and lifetimes of ${}^8\text{Be}$ and HS allowing suggesting possibility of synthesizing α BEC by successively connecting the emerging α -particles.

The main task of the forthcoming stage of the project is to clarify the relation between the appearance of ${}^8\text{Be}$ and HS and α -ensemble multiplicities and search on this basis for decays of the ${}^{16}\text{O}(0^+_6)$ state in ${}^{84}\text{Kr}$ fragmentation below 1 GeV per nucleon.

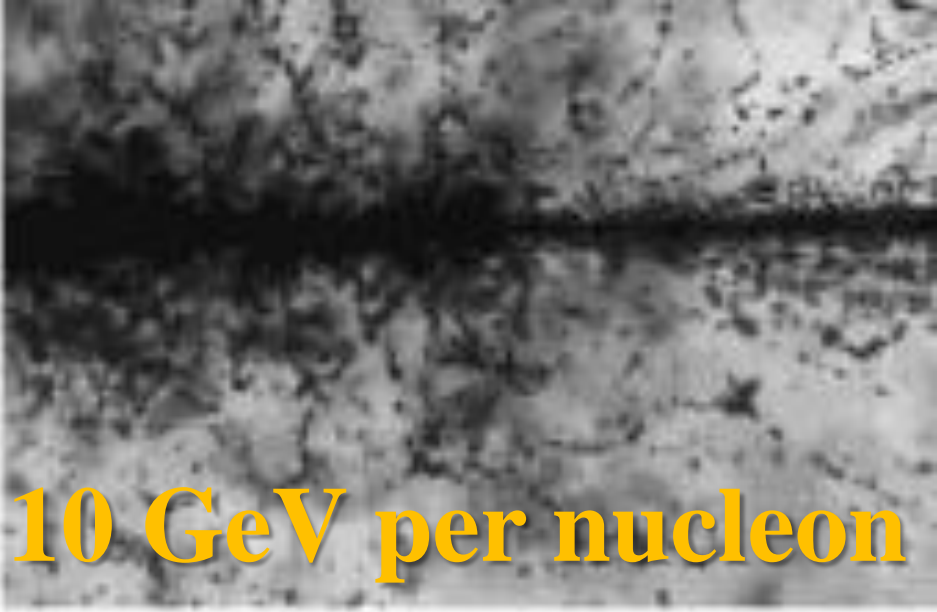
Searches for α BEC lead to the study of nuclear matter with temperature and density ranging from red giants to supernovae. In this respect NTE layers exposed to heavy nuclei at several GeV per nucleon of the NICA accelerator complex will make it possible to study relativistic ensembles of H and He isotopes of unprecedented multiplicity under optimal conditions.

Синхрофазотрон 1986 г. ^{28}Si 3.65 ГэВ на нуклон

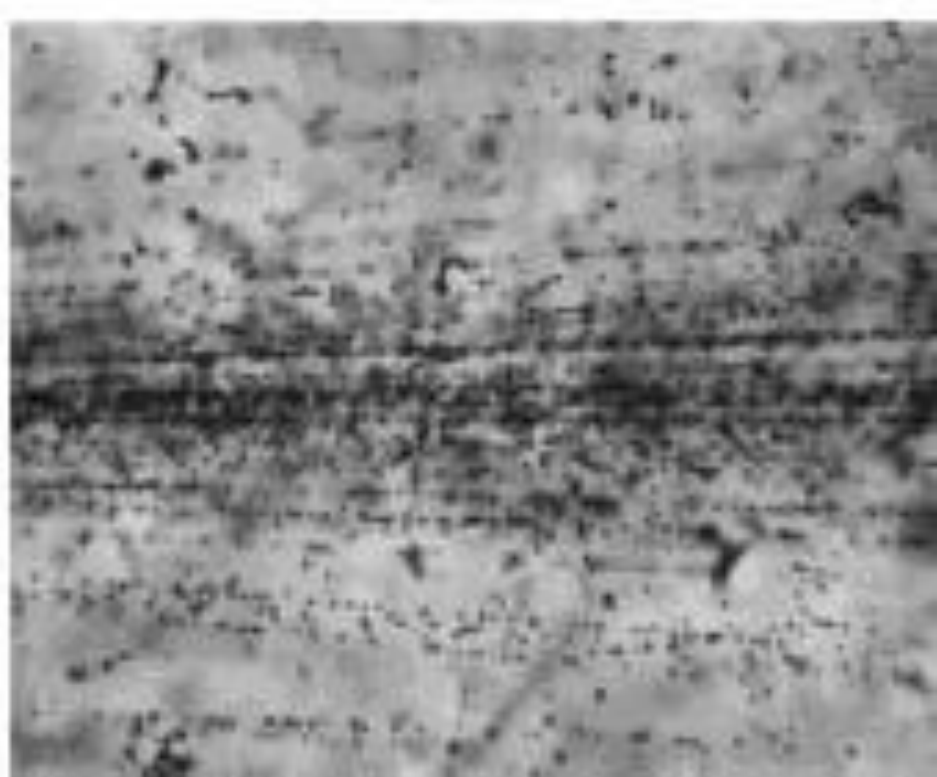
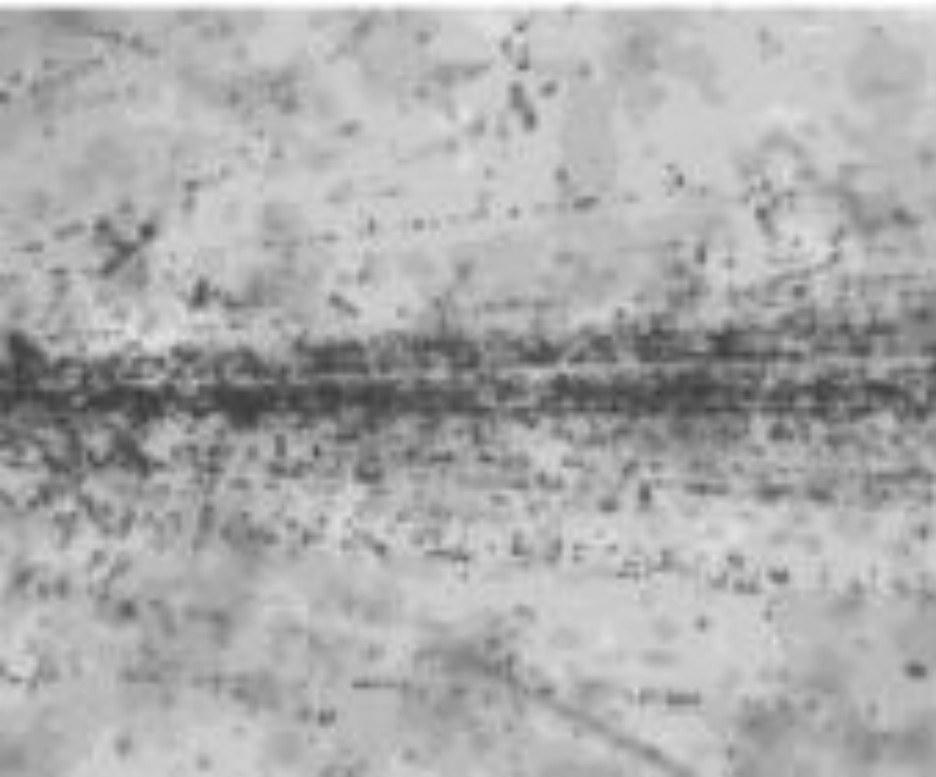


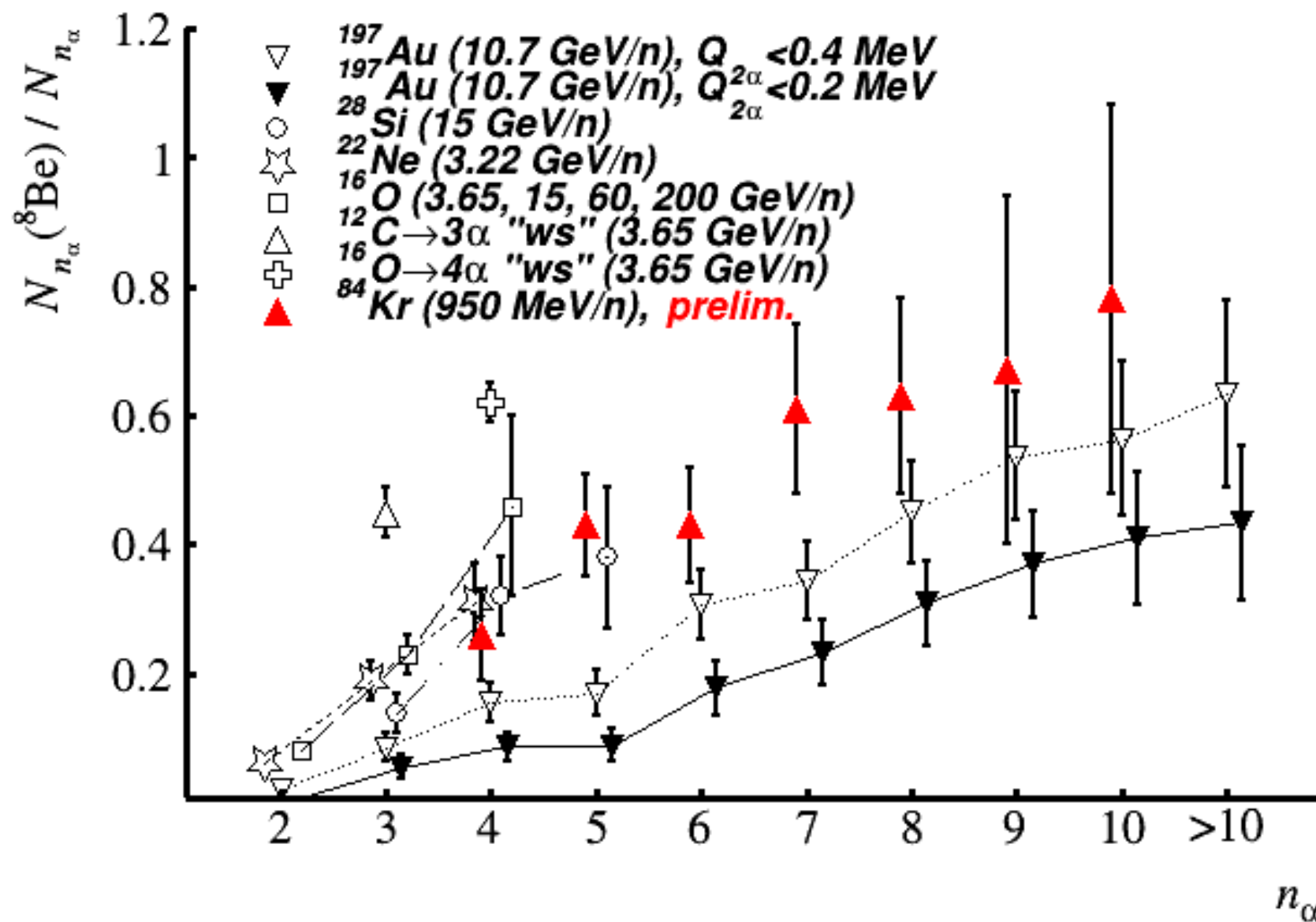


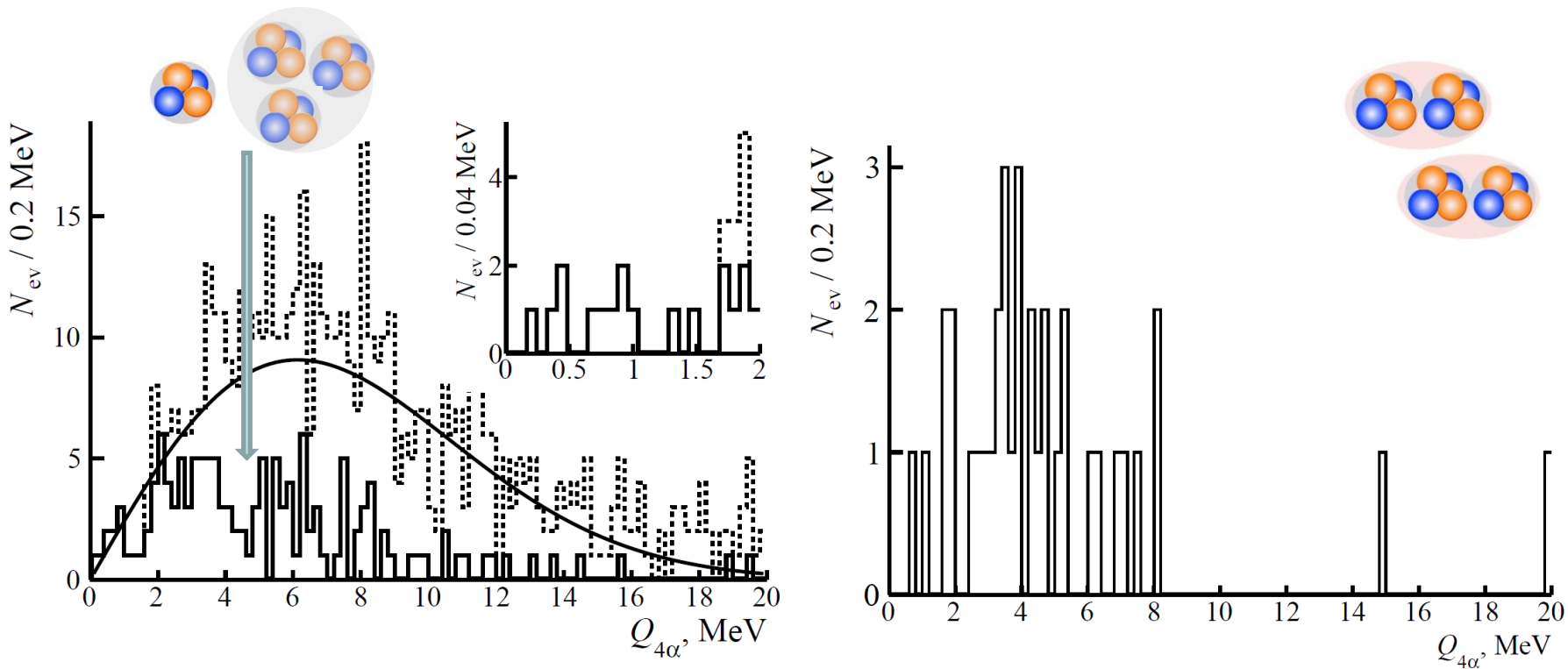
BNL AGS 90s Au



10 GeV per nucleon

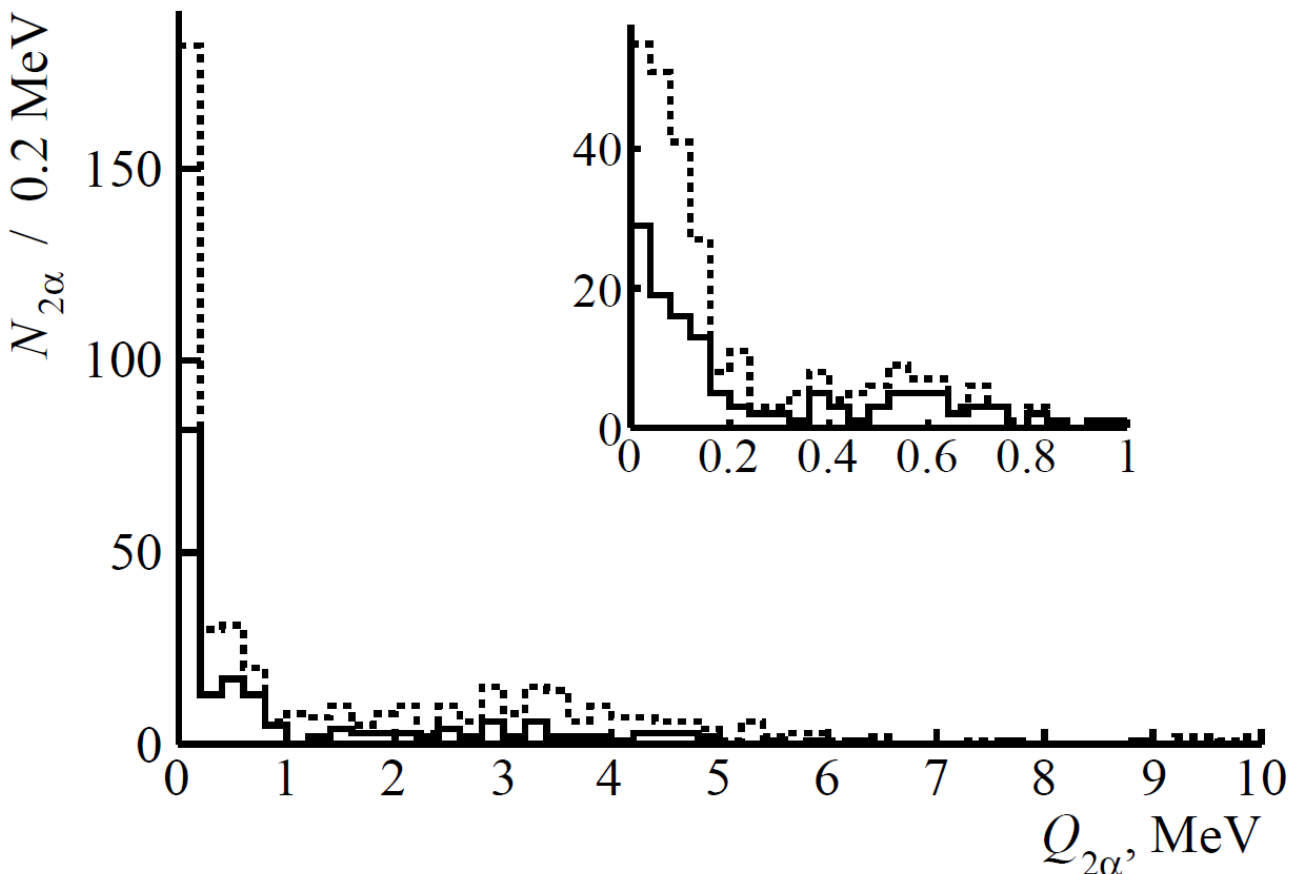
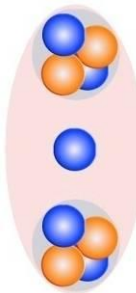






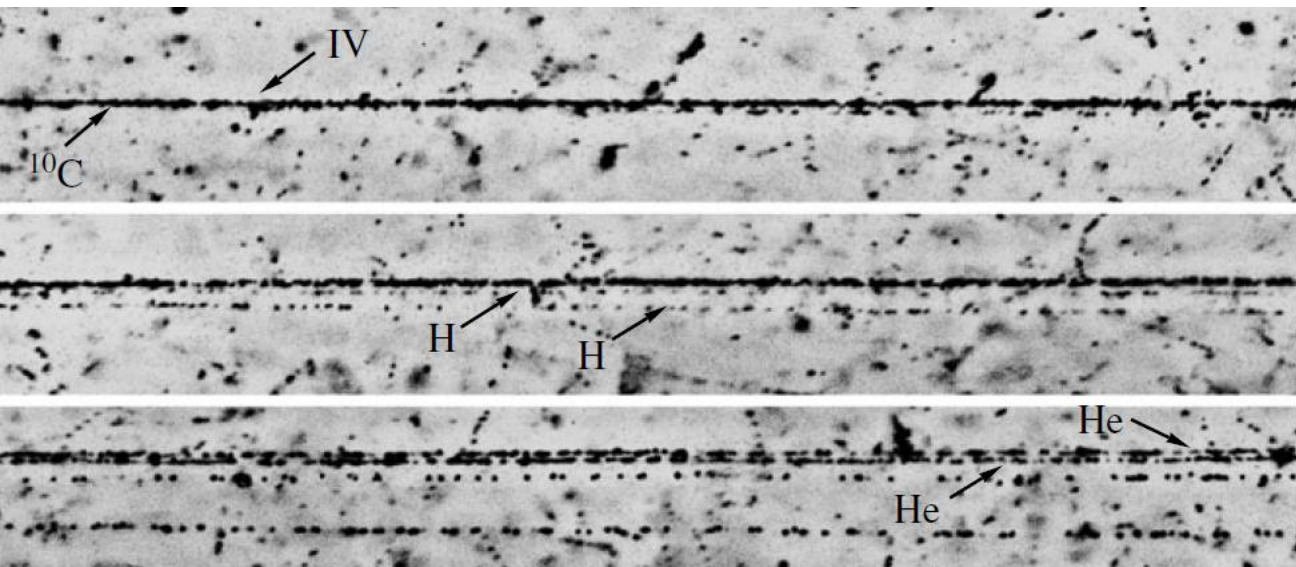
HS can occur as a result of α decay of the 0^+_6 excitation of the ^{16}O nucleus. The distribution of “white” $^{16}\text{O} \rightarrow 4\alpha$ stars over the invariant mass of 4α -quartets $Q_{4\alpha}$ (Left) is described by the Rayleigh distribution with $\sigma_{Q_{4\alpha}} = (6.1 \pm 0.2) \text{ MeV}$. The condition $Q_{3\alpha} (\text{HS}) < 700 \text{ keV}$ shifts the $Q_{4\alpha}$ distribution and indicates 9 events $Q_{4\alpha} < 1 \text{ MeV}$ $\langle Q_{4\alpha} \rangle (\text{RMS}) = 624 \pm 84$ (252) keV. The contribution of $^{16}\text{O} (0^+_6) \rightarrow \alpha + \text{HS}$ decays is estimated to be $7 \pm 2\%$ for normalization to HS. It can be concluded that the direct dissociation of $\alpha + \text{HS}$ dominates in the formation of HS.

33 events were identified $^{16}\text{O} \rightarrow 2^8\text{Be}$, which is $5 \pm 1\%$ of the “white” stars $^{16}\text{O} \rightarrow 4\alpha$. Then, the statistics of coherent dissociation for the $^{16}\text{O} \rightarrow 2^8\text{Be}$ and αHS channels has a ratio of 0.22 ± 0.02 . The distribution over the invariant mass $Q_{4\alpha} < 1.0 \text{ MeV}$ of events $^{16}\text{O} \rightarrow 2^8\text{Be}$ (Right) indicates two candidates $^{16}\text{O} (0^+_6)$. Thus, the estimate of the probability ratio of the $^{16}\text{O} (0^+_6) \rightarrow 2^8\text{Be}$ and $\alpha + \text{HS}$ channels is 0.22 ± 0.17 , which is unsatisfactory. At the same time, the increase in the statistics of events $^{16}\text{O} \rightarrow 4\alpha$ can be considered exhausted. There remains the possibility of studying (3-4) α -ensembles in the fragmentation of heavier nuclei.



E_x (MeV \pm keV)	$J^\pi; T$	Γ_{em} (keV)	Decay
g.s.	$\frac{3}{2}^-; \frac{1}{2}$		stable
1.684 \pm 7	$\frac{1}{2}^+$	217 \pm 10	γ, n
2.4294 \pm 1.3	$\frac{5}{2}^-$	0.78 \pm 0.13	γ, n, α
2.78 \pm 120	$\frac{1}{2}^-$	1080 \pm 110	n
3.049 \pm 9	$\frac{5}{2}^+$	282 \pm 11	γ, n
4.704 \pm 25	$(\frac{3}{2})^+$	743 \pm 55	γ, n
5.59 \pm 100 ^a	$(\frac{3}{2})^-$	1330 \pm 360	γ, n
6.38 \pm 60 ^{a,b}	$\frac{7}{2}^-$	1210 \pm 230	γ, n
6.76 \pm 60 ^{a,b}	$\frac{9}{2}^+$	1330 \pm 90	γ, n
7.94 \pm 80 ^c	$(\frac{5}{2}^-)$	≈ 1000	
11.283 \pm 24	$(\frac{7}{2}^-)$	575 \pm 50	n
11.81 \pm 20	$\frac{5}{2}^-$	400 \pm 30	γ, n
13.79 \pm 30	$\pi = -$	590 \pm 60	γ, n
14.3922 \pm 1.8 ^d	$\frac{3}{2}^+; \frac{3}{2}$	0.381 \pm 0.033	γ, n, α
14.48 \pm 90	$(\frac{5}{2}^-); \frac{1}{2}$	≈ 800	
15.10 \pm 50 ^a		350 \pm 180	γ
15.97 \pm 30	$T = \frac{1}{2}$	≈ 300	γ
16.671 \pm 8	$(\frac{5}{2}^+); \frac{1}{2}$	41 \pm 4	γ
16.9752 \pm 0.8 ^e	$\frac{1}{2}^+; \frac{3}{2}$	0.389 \pm 0.010	γ, n, p, d
17.908 \pm 7	$(\frac{5}{2})^-$	≈ 200	γ, n, p, d

The distribution over $Q_{2\alpha}$ of 500 2α -pairs (dots) including 198 “white” ones (solid) indicates the limit $Q_{2\alpha}(^8\text{Be}) < 0.2 \text{ MeV}$. There are two “influxes” centered on $Q_{2\alpha}$ around 0.6 and 3 MeV. The first reflects the ${}^9\text{Be}$ excitation at 2.43 MeV and the second one the ${}^8\text{Be}_{2+}$ state.



The ground state of the ${}^9\text{B}$ nucleus is higher than the ${}^8\text{Be}p$ threshold by 185 keV, and its width 0.54 keV, also indicates that it is a long-lived state.

